

Vysoká škola: strojn \acute i a textiln \acute i

Katedra: skl \acute ářstv \acute i a keramiky

Fakulta: strojn \acute i

Školn \acute i rok: 1975/76

DIPLOMOVÝ ÚKOL

pro Miroslava Kalinu

obor 04-1-04 Zaměření na sklářské stroje a zařízení

Protože jste splnil požadavky učebn \acute iho plánu, zadává Vám vedoucí katedry ve smyslu směrnic ministerstva školstv \acute i o státn \acute ích závěrečných zkouškách tento diplomov \acute y úkol:

Název tématu: Stanovení optimálních podm \acute inek konstrukce
sklářské rotační formy

Pokyny pro vypracování:

V současné době se konstrukce forem provád \acute í na základě provozních zkušeností a tvar kaplíků se koriguje podle kvality zhotovených výrobků. Navrhování tvarů forem se provád \acute í bez jakýchkoliv teoretických podkladů.

Úkolem Vaš \acute i diplomov \acute e práce je vypracovat rešerši stávajících způsobů návrhů rotačních forem. Rešerši vypracujte se zaměřením na přesnost forem a tolerance vzhledem k požadovaným parametrům výlisků. Navrhněte způsob konstrukce forem pro dosažení optimální přesnosti výlisků.

Autorské právo se řídí směrnicemi MŠK pro učitel \acute ské a státn \acute í zkoušky č. j. 37 127/52-III/2 ze dne 1. února 1962. Věstn \acute ík MŠK, ř. 14, sešit 24 ze dne 1. února 1962 (15. státn \acute í zkouška č. 115/62).

VYSOKÁ ŠKOLA STROJN \acute I A TEXTILN \acute I
Ústředn \acute i knihovna
LIBEREC 1, STUDENTSKÁ 5
152 001 17

V 16/1976

Rozsah grafických laboratorních prací: **přibližně 40 stran textu doložených příslušnými výpočty a výkresy**

Rozsah průvodní zprávy:

Seznam odborné literatury: **Lochman M.: Měření teplot a lisovacích sil při tvarování na rotačním mačkadle R Z 120 (diplomová práce).**

Vedoucí diplomové práce: **Ing. Jaroslav B e l d a, CSc.**

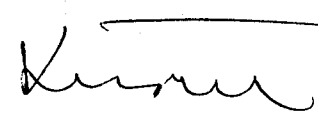
Konsultanti: **Ing. Antonín Schäfer, Preciosa n. p.
Jablonec n. N.
Ing. Antonín Havelka, VŠST Liberec**

Datum zahájení diplomové práce: **15. 10. 1975**

Datum odevzdání diplomové práce: **31. 5. 1976**

VYSOKÁ ŠKOLA STROJNÍ A TEXTILNÍ
fakulta strojního inženýrství
LIBEREC


Ing. Jaroslav Belda, CSc.
Vedoucí katedry


Doc. Ing. Oldřich Krejčíř, CSc.
Děkan

VŠST LIBEREC
Fakulta strojní.

Obor 23 - 34 - 8

Výrobní stroje a zařízení
samřeni

sklářské a keramické stroje.

Katedra sklářství a keramiky.

STANOVENÍ OPTIMÁLNÍCH PODMÍNEK KONSTRUKCE
SKLÁŘSKÉ ROZÁČKÉ FORMY.

Miroslav K A L I N A

DP - 265/76

Vedoucí práce: Ing. Jaroslav Belda, CSc. VŠST Liberec

Konzultanti: Ing. Antonín Schöfer, Preciosa n. p.

Jablonec n. H.

Ing. Antonín Havelka, VŠST Liberec

Rozsah práce a příloh:

Počet stran	66
Počet příloh	...
a tabulek	6
Počet obrázků	23
Počet výkresů	2
Počet modelů	1

DP : 666.1.035

31. 5. 1976

Obsah textové části:

1. Úvod	list 8. 8
2. Stávající způsoby návrhů rotač. nástrojů..	list 8. 9
Ocelové rotační nástroje.....	list 8.11
Rotační nástroje z tvrdokovu.....	list 8.13
3. Tvarování na rotačních mezkadlech.....	list 8.15
Geometrické řešení odvalování.....	list 8.16
Geometrické řešení odvalování pro různé profily výlišků.....	list 8.23
4. Odvalování cvlivněs lisování a pohybem skloviny.....	list 8.36
5. Skutečné výlišky.....	list 8.39
6. Modelování práce rotačních forem.....	list 8.46
Popis konstrukce.....	list 8.47
Popis funkce modelu.....	list 8.48
Zhodnocení výsledků modelování.....	list 8.52
7. Porovnání výsledků.....	list 8.53
8. Návrh nové konstrukce.....	list 8.59
9. Předběžné ekonomické zhodnocení nové konstrukce.....	list 8.60
10. Závěr.....	list 8.64
Použitá literatura.....	list 8.66

Seznam příloh:

1. příloha: Konstruktivní výkres rolny s 113 mm.
2. příloha: Výlisek špička s ploškou velikost ss 40.
Konstrukce spolupřirajících profilů poloviny výlisku se špičkou.
3. příloha: Výlisek špička s ploškou velikost ss 40.
Konstrukce spolupřirajících profilů poloviny výlisku s ploškou.
4. příloha: Výlisek pro šatony smírek ss 45.
Konstrukce spolupřirajících profilů poloviny výlisku se špičkou.
5. příloha: Výlisek pro šatony smírek ss 45.
Konstrukce spolupřirajících profilů poloviny výlisku s ploškou.
6. příloha: Výlisek lustrová hlavička velikost 14.
Konstrukce spolupřirajících profilů.

1. Úvod.

Cílem rozvoje jablonecké bižuterie v následujících letech je stále větší mechanizace a automatizace výroby skl. zboží a tím odstraňování ruční práce. Tento cíl stanoví závěry usnesení 15. sjezdu KSČ ve směrnicích 6. pětiletky k rozvoji československého průmyslu. Důvodem je nejen zákonitý vývoj průmyslové výroby a snaha o zkracování pracovní doby, ale i značný nedostatek pracovních sil. Ty je možné nahradit jen za pomoci saváče stále více produktivnějších strojů do všech oblastí výrobního procesu.

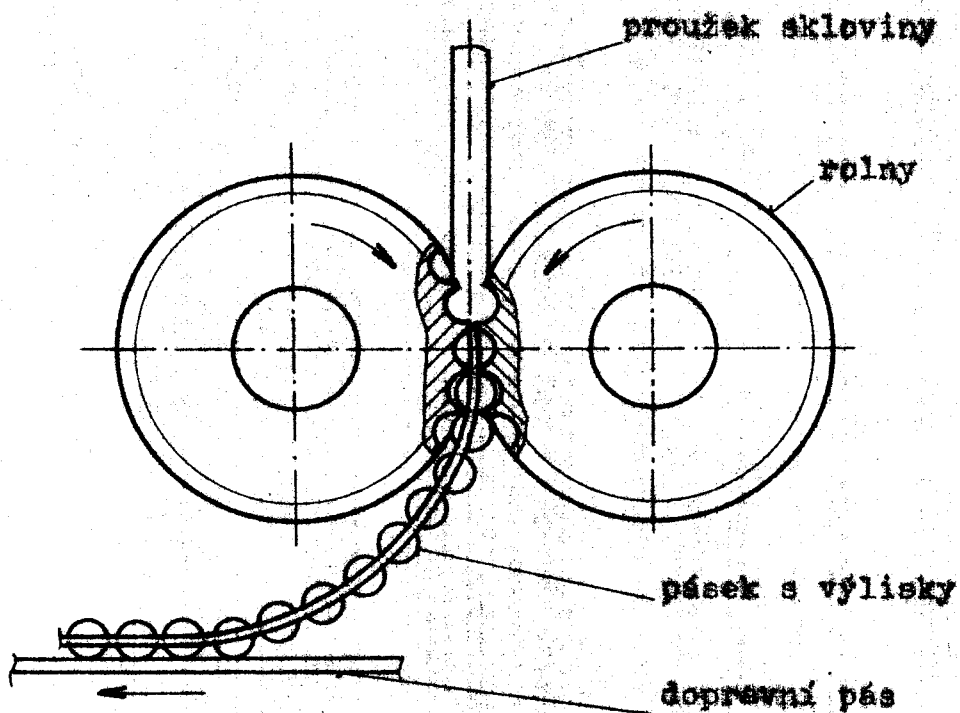
V jabloneckém bižuterním průmyslu je situace o to těžší, že sortiment výrobků je valice bohatý a různorodý. Výroba musí pružně reagovat na potřeby trhu, na módu a to se tak velkými sériemi, kdy je ekonomické vyrobit automatický nebo jednodušový stroj. Proto je snaha o zavedení univerzálních strojů se snadnou změnou na jiný druh výrobku.

Dobrych výsledků se dnes dosahuje již dost rozšířenými rotačními mačkadly, které patří mezi nejvýkonnější technologie tvarování. Vzhledem k nízké kvalitě povrchu a malé přesnosti výlisků jsou vhodná hlavně pro výrobu suroviny, které se dále zpracovává buď tvarováním, nebo broušením. Dále jsou vhodná na výrobky, na jejichž přesnosti nezáleží.

Princip rotačního mačkání /obr. 1./.

Jedná se o mačkání proužku skloviny pomocí dvou rotačních nástrojů, na jejichž obvodě jsou v přesné vzdálenosti za sebou provedeny dutiny tvořící půlky formiček a to tak, že každá dutina na obvodě jednoho tvarovacího kotouče tvoří spolu s dutinou na obvodě druhého kotouče formičku odpovídající tvaru a velikosti vyrobeného výlisku. Sklovina teče

z pece v podobě praménku mezi protí sobě se otáčející kotouče, kde se z praménku lisuje souvislý pásek výlisků spojených tenkou vrstvičkou skloviny t.zv. bráskem a postupují takto na dopravní pás. Toto kontinuální tvarování se používá především na výrobu šatonů a perel menších velikostí. Nevýhodou je, že při větších velikostech výlisků dochází při odvalování mezi kotouči k deformacím. Doba lisování je vzhledem k malé styčné ploše mezi rotačními nástroji velmi malá, takže při silnějším praménku skloviny nemají jednotlivé výlisky dosti času vychladnout. Poněvadž páčky forem na obvodě kotoučů musí být v místě odvalování přesně proti sobě, jsou kladeny vysoké nároky na přesnost rotačních nástrojů.



Obr. 1.

Další vývoj rotačních mačkádel je zaměřen na odstranění stávajících vad a přejití výroby na výlisky přesnější a rozměrově větší, na zlepšení odvalovacích poměrů.

Příčiny deformací výlisku je možné rozdělit na dva faktory:

a. technologický

b. mechanický

ad a. Faktor technologický zahrnuje:

teplotu proužku skloviny

otáčky rotačních nástrojů

teplotu rotačních nástrojů

výšku hladiny v peci

průměr výtokového otvoru v peci

ad b. Faktor mechanický zahrnuje:

průměr rotačního nástroje

tvář výlisku /jeho průměr a výšku/

stav strojního zařízení

kvalitu a provedení nasazené formy

Okolem této diplomové práce je zaměřit se na faktor mechanický. Řešit konstrukci rotačního nástroje s ohledem na získání optimálního výlisku. Teoreticky je rozpracován odvalovací proces mezi nástroji, jsou ukázány jeho negativní vlivy na přesnost výlisku. Je hledána vhodná cesta ke konstrukci rotačních forem, aby výlisek vyhovoval kladeným požadavkům na jeho tvar. Práce vychází z vlastního modelování rotačního lisování. Snaží se přiblížit odvalovací a lisovací podmínky při výrobě na model a pak zpětně porovnávat skutečnost, teorii a modelování. Za pomoci modelu tvarování na mačkádeli nalézt vyhovující konstrukci rotačních forem k dosažení optimálního výlisku.

2. Stávající způsoby návrhů rotačních nástrojů.

Rotační nástroje /rotační formy, relay/.

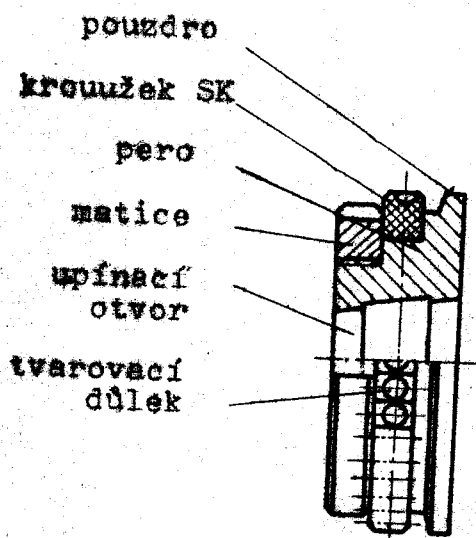
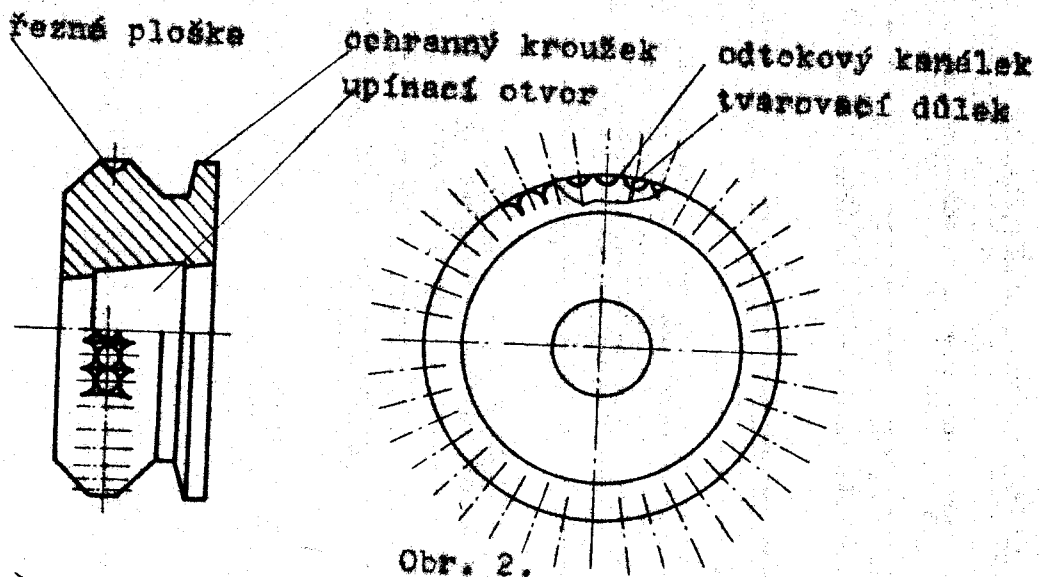
Rotační formy se sestávají z páru kotoučů, po jejichž obvodě jsou v pravidelných roztečích umístěny tvarovací dílky / tvarovací formičky, kaplíky/. Jsou upnuty na pracovní hřídele rotačního mačkadla. Rozdělují se podle:

A. druhu materiálu na

a. ocelové - nitridované, z oceli ČSN 14 340 /obr.2/

- z rychlořezné oceli na př. ČSN 19 802

b. ze slinutých karbidů /obr.3/



B. jmenovitého rozměru ve vazbě na druh sortimentu, typ rotačního mačkadla a upínací otvor rolny.

Jmenovitý rozměr rolny v mm	Druh sortimentu	Typ rotačního mačkadla	Upínací otvor rolny
69	ostatní	RS 1	válcový Ø 22
70	ostatní	RM 1	kuželový $\pm 1^{\circ} 18' 40''$ min. Ø 34
95	perle ostatní	RS 2	válcový Ø 22
113	ostatní	RM 2	kuželový $\pm 30^{\circ}$ min. Ø 58
120	perle ostatní	RZ 120	kuželový $\pm 16^{\circ} 35' 40''$ max. Ø 44

C. počtu řádků formiček na obvodě

- a. jednořádkové
- b. dvouřádkové /víceřádkové/

D. druhu sortimentu

- a. perlové
- b. ostatní

Zkoušení rotačních nástrojů.

U každé rolny musí být zkoušeny tyto parametry:

1. vnější rozměry
2. upínací otvor
3. axiální házivost
4. radiální házivost a kruhovitost
5. průměr dálku /vzorku/
6. hloubka dálku /vzorku/
7. rozteče dálků
8. sražení vnitřní hrany dálku /vzorku/
9. drsnost a kvalita povrchu dálku /vzorku/

10. šířka řezných plošek

11. mikrotvrďost Hv10 - pouze u rolet ocelových

Měření parametrů.

- ad 1. Měření vnějších rozměrů se provádí pomocí mikrometru a posuvného měřítka.
- ad 2. Měření upínacích otvorů:
- a. měření kuželových upínacích otvorů se provádí mez-
ním kuželovým kalibrem.
 - b. měření válcových upínacích otvorů se provádí posuv-
ným měřítkem.
- ad 3. Měření axiální házivosti se provádí pomocí hodinového indikátoru.
- ad 4. Měření radiální házivosti a kruhovitosti se provádí pomocí hodinového indikátoru.
- ad 5. Měření průměrů důlků se provádí:
- a. Brinellovou lupou
 - b. měřením otisku z pečetního vosku profilprojektorem.
- ad 6. Měření hloubky důlků se provádí pomocí hodinového in-
dikátoru s upraveným hrotem.
- ad 7. Měření roztečí důlků. Kontrolní metoda pro dílenské účely se připravuje.
- ad 8. Kontrola sražení vnitřní hrany důlků se provádí pomocí Brinellovy lupy.
- ad 9. Kontrola drsnosti a kvality povrchu důlků se provádí vizuelně pomocí nástrojářských binokulárních brýlí.
- ad 10. Měření šířky řezných plošek se provádí pomocí Brinello-
vy lupy, nebo dílenského mikroskopu.
- ad 11. Měření mikrotvrďosti Hv 10 se provádí Vickersovým mi-
krotvrďoměrem.

Ocelové rotační nástroje /obr.2/.

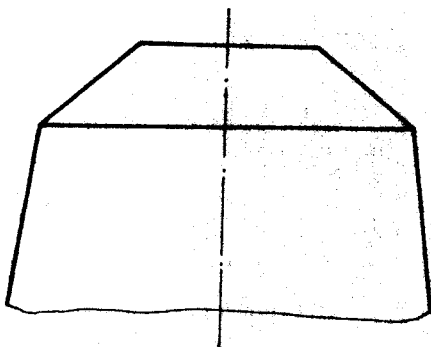
Jediným výrobcem rolen z nitridační oceli lisovací technikou je n.p. Preciosa.

Postup výroby má 12 hlavních operací:

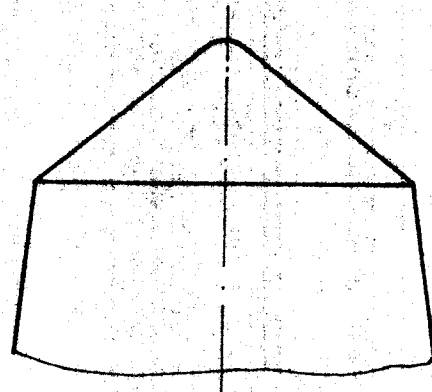
1. nařezání materiálu
2. vyhrubování polotovaru
3. osoustružení polotovaru načisto
4. vyvrtání důlků na vyvrtávače
5. začištění důlků
6. lisování kaplíků razníkem
7. začištění kaplíků
8. soustružení tvaru hotově
9. odhroťování
10. vypracování řezacích plošek
11. zhotovení otvoru rolny
12. nitridace rolen

Jako příloha 1. je uveden konstrukční výkres ocelové rolny $\varnothing 113$ mm. Na výkrese jsou vidět jednotlivé tolerance rozměrů a drsnosti povrchů.

Operace 6. lisování kaplíků se provádí razníkem viz obr. 4. a obr. 5., které jsou pro šatkové výlisky špičky s ploškou.



Obr. 4.



Obr. 5.

Výhody ocelových rotačních forem vyrobených metodou lisovací.

Pomocí jednoho razníku se vylisují předvrtané dílky po celém obvodu. Razníky s velmi jemným opracováním 0,1 μm vytvoří dílky s velmi dokonalým a přesným povrchem. Pro celý obvod se používá stejného razníku, a proto jsou všechny kaplíky stejné. Je umožněno touto metodou vyrábět nerotační tvary dílků.

Nevýhody výroby rotačních forem lisování.

Při výrobě dochází k deformacím sousedních dílků. Ve směru obvodovém jsou především deformacemi plastickými, zatímco v axiálním směru rolny se převážně jedná o deformace pružné. Plastické deformace v obvodovém směru jsou ovlivňovány hlavně tloušťkou materiálu mezi dvěma sousedními dílky. Čím menší je tloušťka materiálu mezi dílky /více kaplíků na obvodě/ tím jsou plastické deformace větší a tím se více zmenšuje obvodový průměr sousedních dílků. Skutečný rozdíl průměrů dílků v axiálním a obvodovém směru rolny činí na př. u špičky \varnothing 8,1 mm při průměru rolny 113 mm maximálně 0,15 mm. Zcela běžně se u této velikosti vykytují rozdíly 0,1 mm. Vzniklé deformace pak ovlivňují kvalitu vylisku a jeho geometrický tvar, hlavně průměr. Aby se zamezilo těmto deformacím, pak by se musel předtvarovat dílek třískovým obráběním s malými přídávky a dolisovat na hotovo nebo vyjiskřit na daný tvar a dolisovat razníkem na konečný tvar.

Dále vznikají odchylky způsobené rozdílnou kvalitou materiálu po obvodu rolny. Tyto odchylky jsou způsobeny nerovným odporem materiálu při lisování. Výsledkem je, že průměr a hloubka dílků po obvodu kolísá, možno říci, nahodile řádově v 0,01 mm.

Na přesnost mají vliv další činitelé jako je nedokonalé výrobní zařízení používané pro lisování, což je největším zdrojem nepřesných úhlových roztečí jednotlivých důlků na obvodě rolny; dále i dostatečná kvalita provedených ručních prací. Je-li zanedbána kvalita krájecích plošek /na př. poškozování pilníkem nebo nekvalitně sražené hrany/, může to mít za následek popraskání a oprýsknutí nitrídační vrstvy v těchto místech, ve kterých forma nejčastěji nalepuje sklovinu.

Vyčištění důlku po lisování rydkem /oper.č.7./ je rovněž velmi důležitou operací. Lupou jsou někdy pozorovány šupinky, které pak po nitrídaci způsobují^v provozu lepení skloviny v důlku. Tyto šupinky časem odprýsknou a forma má nižší životnost.

Nepříznivé je i nutné sražení hrany na vnitřním obvodě kaplíků z důvodu křehké nitrídační vrstvičky. Tím není přechod mezi brokem a výliskem ostrý a brok se hůře odstraňuje. Zvětší se tím maximální průměr výlisků, což je nevýhodné pro další technologii zpracování.

Rotační nástroje z tvrdokovu /obr.3./.

Jediným výrobcem rolen z tvrdokovu technikou elektroerozivního obrábění je n.p. ŽBS.

Skládají se z pouzdra, pomocí kterého se rolky upínají na pracovní hřídel mačkadla, matice, kroužku z tvrdokovu, na jehož obvodě jsou důlky, a pera, které zabezpečuje kroužek proti prokluzu na pouzdru.

Výhody použití tvrdokovu jsou hlavně v prodloužení životnosti rotačních nástrojů. Je odstraněn negativní vliv nitrídační vrstvičky, zapříčiněn rozdílnou tvrdostí povrchu a jádra rolen. Povrch tvrdokovových forem má podstatně delší životnost oproti ocelovým. Nemusí se sražet hrana na vnitř-

ním obvodě důlku. Tím přechod mezi vyliskem a broken je ostřejší a při dalším zpracování vylisku se docílí menšího průměru přes brok oproti vyliskům z ocelových forem. Další výhodou pro přesnost kaplíku je vlastní technologie její výroby. Tím, že při výrobě se důlek jiskří, odpaďají vzájemně deformace sousedních důlků, které jsou způsobovány lisováním u rolen ocelových. Ovšem povrch po jiskření je nekvalitní, proto je zařazeno leštění povrchu kaplíků. Tím se dosáhne velmi kvalitního povrchu.

Nevýhody použití tvrdokovu.

Použitím technologie elektroerozivního obrábění na zhotovení kaplíků v tvrdokovu se na první pohled zdá, že jej vyrobíme s ideálním tvarem /geometricky přesným/. K tvarovým odchylkám dochází jednak nepřesnostmi strojního zařízení na jiskření a hlavně pak v důsledku následující nutné operace po jiskření, což je leštění povrchu. U ocelových forem lze tuto operaci provést dolisováním razníkem. Leštění povrchu se provádí ručně pomocí brousící diamantové pasty M 32. Při tom dochází k nahodile velkému úběrům povrchu, takže výsledkem nejsou geometricky přesné a stejné kaplíky po obvodě.

Širšímu využití forem z tvrdokovu brání jejich cena, která je 10 až 12 krát větší ve srovnání s ocelovými. Vysoká pořizovací cena je vyrovnávána delší životností nástrojů a kvalitnějšími vylisky. Výhodnost jejich použití se potvrdila ve výrobě, a proto jsou stále více žádány výrobci vylisků. V poslední době se vyskytlo praskání tvrdokovových kroužků, což se současně řeší.

V dalším vývoji je zavedení výroby rolen z rychlořezné oceli. Zkouší se materiál ČSN 19 802. Přezatímní výsledky

ukazují dobrou budoucnost rolen z tohoto materiálu. Výroba se provádí lisovací technikou používanou pro rolny z nitridační oceli. Jejich životnost se ukazuje 4 až 5 ti násobně než u dosavadních ocelových rolen, při čemž cena je o málo vyšší. Hlavní výhodou použití rychlořezných ocelí je v odstranění nutnosti srážek hrany po vnitřním obvodu kaplíků.

3. Tvarování na rotačních mačkadlech.

Použitím rotačního tvarování při výrobě výlisků dostáváme výlisky s menší přesností. Při tvarování mechanicko-tepelném procesem dochází k deformacím na výliscích. Další deformace mohou vzniknout při opuštění tvarovacích nástrojů.

A. Při tvarování se projevují deformace vzniklé:

- a. špatnými rolnami /nelze je seřídít/
- b. špatným seřazením rolen
- c. nepřesným chodem stroje
- d. při odvalování

B. Při opuštění tvarovacích nástrojů dochází k deformacím:

- a. natahováním, nebo zkracováním vytvarovaného pásu výlisků
- b. na dopravním pásu, když ještě nejsou výlisky dostatečně tuhé a deformují se vlastní vahou.

Deformace a. až c. při tvarování lze odstranit větší péčí vosti obsluhy, kvalitou stroje a nástroje. Deformace výlisků po tvarování závisí jednak na seřazení dopravního pásu, ale i na dodržování technologických podmínek výroby.

Dále jsou probírány deformace d. vzniklé při odvalování výlisků. Tyto se projevují u výlisků z přesně vyrobených kaplíků, ale vyrobených bez zřetele na odvalovací škonitosti.

Odvalování při tvarování.

Zjednodušující předpoklady řešení problému:

- lze předpokládat, že největší deformace vznikají v rovině odvalování, která je proložena osou kaplíku kolmo na osu tvarovacího nástroje. Potom můžeme řešit případ jako rovinný.
- z hlediska symetrie stačí řešit případ poloviční, kdy se odvaluje kružnice po přímce.

Geometrické řešení odvalování.

Jsou řešeny základní případy:

- a. jaký profil spojený s přímkou, která je pevnou polodí, vytvoříme daným profilem spojeným s kružnicí, která je hybnou polodí.
- b. jaký profil spojený s kružnicí, která je hybnou polodí, vytvoříme daným profilem spojeným s přímkou, která je pevnou polodí.

Případy jsou řešeny pro výlisek teoreticky, na základě geometrických zákonitostí, při zanedbání vlivu tlaků a viskozity skloviny při tvarování. Prakticky se jedná o vytvoření apolnabírajícího profilu k danému, když jsou určeny obě polodí. Při řešení je postupováno podle věty: Jsou-li dány dvě polodí a libovolný profil spojený s jednou z nich, je tím určen druhý profil spojený s druhou polodí a správně zabírající s daným profilem.

Odvalování kružnice po přímce /obr.6./.

Při bezskluzovém pohybu kružnice jako hybné polodí k po přímce, která je pevnou polodí p , dosáhá k cykloidnímu pohybu.

Je-li v rovině dané souřadnými osami X, Y bod $M /O, v/$ spojený s kružnicí k se středem $Q /O, r/$ o poloměru r , je-li $p = r$ - v vzdálenost bodu M od středu kružnice e je-li e úhel

otočení kružnice, která se valí po ose x , vzhledem ke kolmici spuštěné ze středu O na osu x , pak bod M při valení kružnice po ose x opisuje cykloidu o rovnicích

$$x=rt-p.\sin t$$

$$y=r-p.\cos t$$

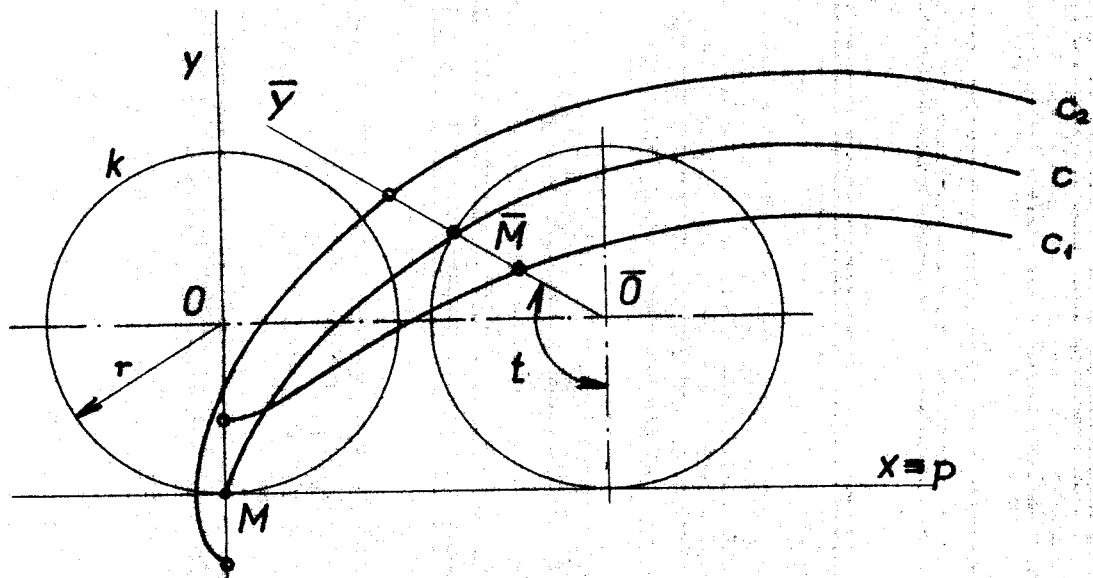
pro $p < r$ dostáváme zkrácenou c_1

pro $p = r$ obyčejnou o rovnicích

$$x=r./t-\sin t/$$

$$y=r./1-\cos t/$$

pro $p > r$ prodlouženou cykloidu c_2



Obr.6.

Odválování přímky spojené s kružnicí po přímce/obr.7./
 Na obr.7. je znázorněn případ, kdy se kružnice k odvaluje po přímce p . Přímky q_1, q_2, q_3 jsou pevně spojeny s odvalující se kružnicí k . Křivky vzniklé při odválování jsou cykloidy c_1, c_2, c_3 . Lze dokázat, že obálka c_1 vzniklá při odválování přímky q_1 je cykloida, která vzniká při odválování bodu A na obvodě kružnice k' , která je dvakrát menší kružnice k .

a má rovnice

$$x = \frac{r}{2} \cdot \frac{1 - \sin 2t}{1 + \sin 2t} = r \cdot \frac{1 - \sin t \cdot \cos t}{1 + \sin t \cdot \cos t}$$

$$y = \frac{r}{2} \cdot \frac{1 - \cos 2t}{1 + \cos 2t} = r \cdot \frac{1 - \cos^2 t}{1 + \cos^2 t}$$

kde t je úhel pootočení kružnice k

r je poloměr kružnice k

Obálky c_2, c_3 jsou ekvidistanty k této prosté cykloidě c_1 .

Jejich rovnice jsou

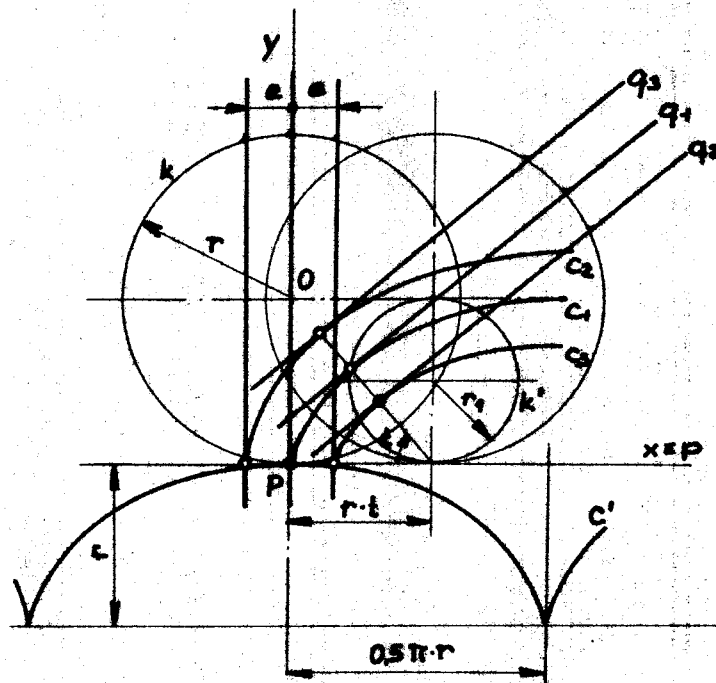
$$x = r \cdot \frac{1 - \sin t \cdot \cos t}{1 + \sin t \cdot \cos t} \mp e \cdot \cos t$$

$$y = r \cdot \frac{1 - \cos^2 t}{1 + \cos^2 t} \mp e \cdot \sin t$$

kde horní znaménko/-/ je pro ekvidistanty c_3

dolní znaménko/+/ je pro ekvidistanty c_2

g je vzdálenost středu kružnice k od paty kolmice spuštěné z tohoto středu na přímku.



Obz. 7.

Společnou evolutou /všech obálek/ je cykloida g' shodná s g_1 , ale posunutá do bodu P ve směru osy y dolu o g a ve směru osy x o $0,5 \cdot r \cdot \pi$.

Odvalování kružnice spojené s kružnicí po přínce.

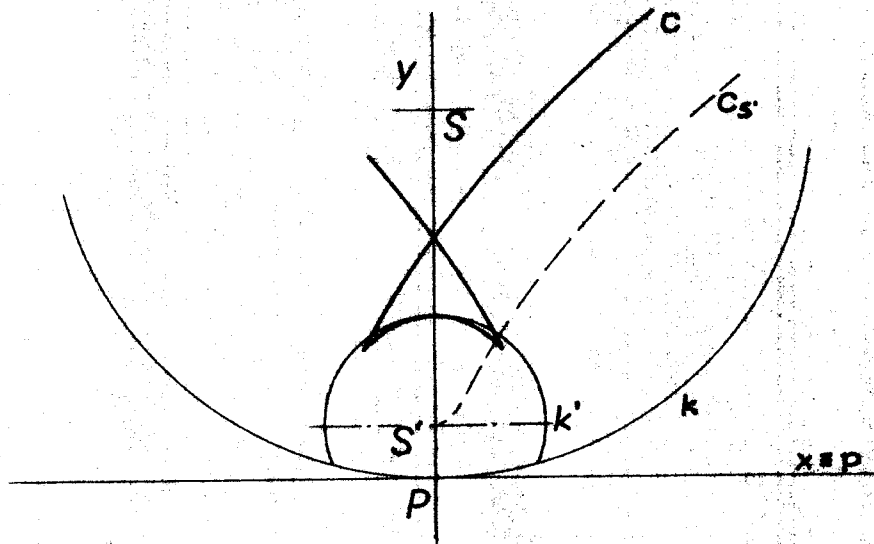
Řešení tohoto problému lze rozdělit na tři úlohy:

- a. střed S' kružnice k' leží uvnitř kružnice k /obr.8./
- b. střed S' kružnice k' leží na kružnici k /obr.10./
- c. střed S' kružnice k' leží na kružnici k /obr.9./

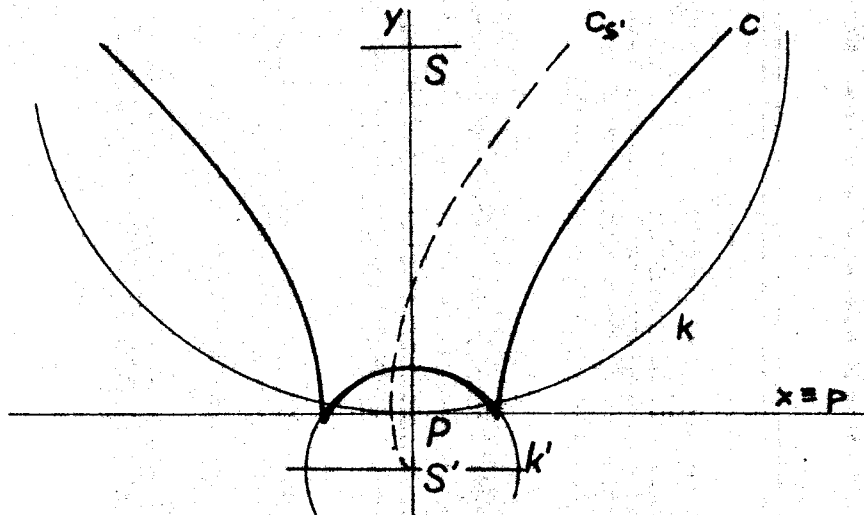
Úlohy lze řešit podle věty, že obálka kružnice při jejím libovolném pohybu je ekvidistanta trochoidy opísané jejím středem. Při odvalování kružnice k' vznikají současně dvě obálky, z nichž jedna je pro náš případ nereálná a není na obr. zakreslena.

Jsou řešeny případy a_1 a b_1 při posunutí středu S' mimo pól P . V obou případech vznikají obálky s větší křivostí než je křivost kružnice k' a nastává zkreslení profilu kružnice. Bylo na příklad zjištěno, že pro průměr rolny 113mm a průměru kaplíků 9,5mm při posunutí středu kružnice o 0,5mm /předpokládaná max. nepřesnost výroby kulových kaplíků/ je zkreslení max. 0,05mm.

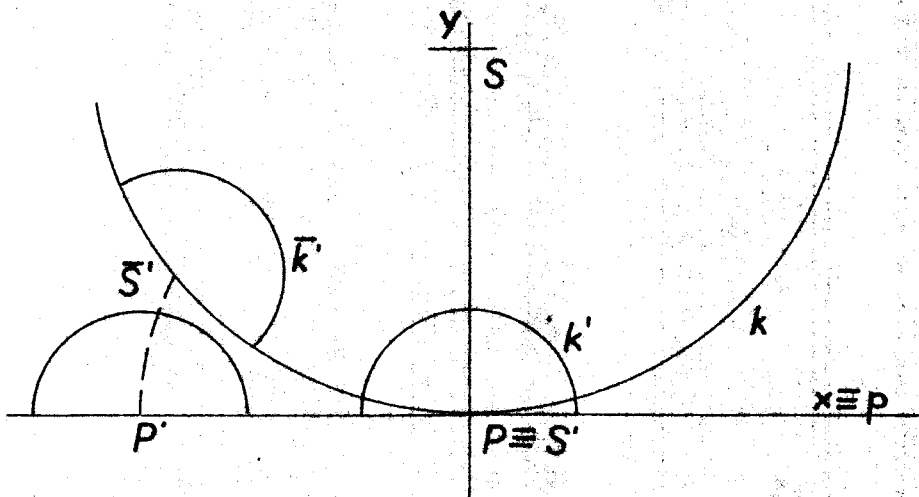
Leží-li střed S' kružnice k' na kružnici k , nenastává při odvalování žádná deformace. Výtvarnými body bude celá kružnice /v prostorovém řešení celá koule/ právě v okamžiku, kdy se střed S' stotožní s pólem pohybu P . Z toho vyplývá, že odvalování kružnice není omezeno geometrickými poměry odvalovacích nástrojů v případě, že se nesaháme o sklus nástrojů.



Obr. 8.



Obr. 9.



Obr. 10.

Odvalování přímky po kružnici /obr.11./

Hybná polodie je přímka g a pevná polodie je kružnice k , pohyb přímky po kružnici je bez skluzu, vzniká pohyb evolventní. Tímto pohybem lze hledat spoluzabírající profil k přímkovému profilu danému na přímce, Rovnice evolventy:

$$x = r + p \cdot \cos t + r \cdot t \cdot \sin t$$

$$y = r + p \cdot \sin t - r \cdot t \cdot \cos t$$

kde r je poloměr kružnice

p je vzdálenost bodu opisujícího křivku od pólu O pro $t = 0$

t je úhel pootočení přímky na kružnici

pro $p < 0$ je skrácená - e_1

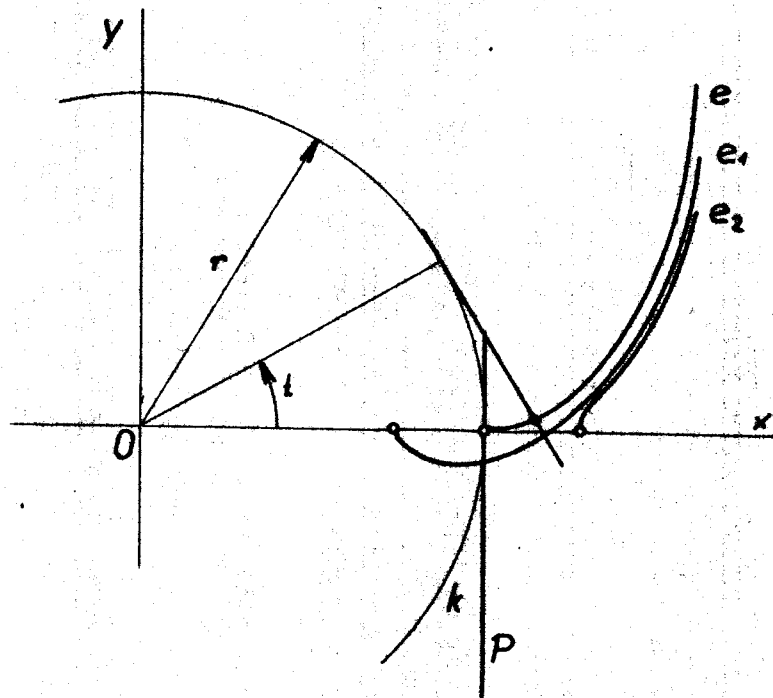
$p > 0$ je prodloužená - e_2

$p = 0$ je obyčejná - g se souřadnicemi

$$x = r \cdot \cos t + t \cdot \sin t$$

$$y = r \cdot \sin t - t \cdot \cos t$$

Evolutou evolventy je kružnice.



Obr.11.

Odvalování přímky spojené s odvalující se přímkou po kružnici /obr.12./.

Tento případ se podobá problematice odvalování hřebene s ozubeným kolem. Vedle kružnice k , která je pevnou polodií, zde je nutné určit i kružnici základní, po které se daná přímka q_1 spojená s hybnou polodií p odvaluje. Vzdálenost středu kružnice k od paty kolmice spuštěné z tohoto středu na přímku q_1 je souřadnice L . Ta určuje vzájemné pootočení evolvent /ekvidistant/, které vzniknou jako obálky vzájemně rovnoběžných přímek s přímkou q_1 .

Poloměr základní kružnice k_z pro obálku přímky o

$$\text{úhlu } \alpha : r_z = r \cdot \cos \alpha$$

Pro základní evolventu e_z v dané poloze, která prochází průsečíkem N základní kružnice s osou y , platí $L_z = r_z \cdot \alpha$ a jejím parametrem je úhel pootočení t .

Pro evolventy e_1 ekvidistantní k základní evolventě je úhel pootočení vůči ní $t_0 = \frac{L - L_z}{r_z}$

Základní evolventa má s ohledem na souřadný systém na obr.12. rovnice

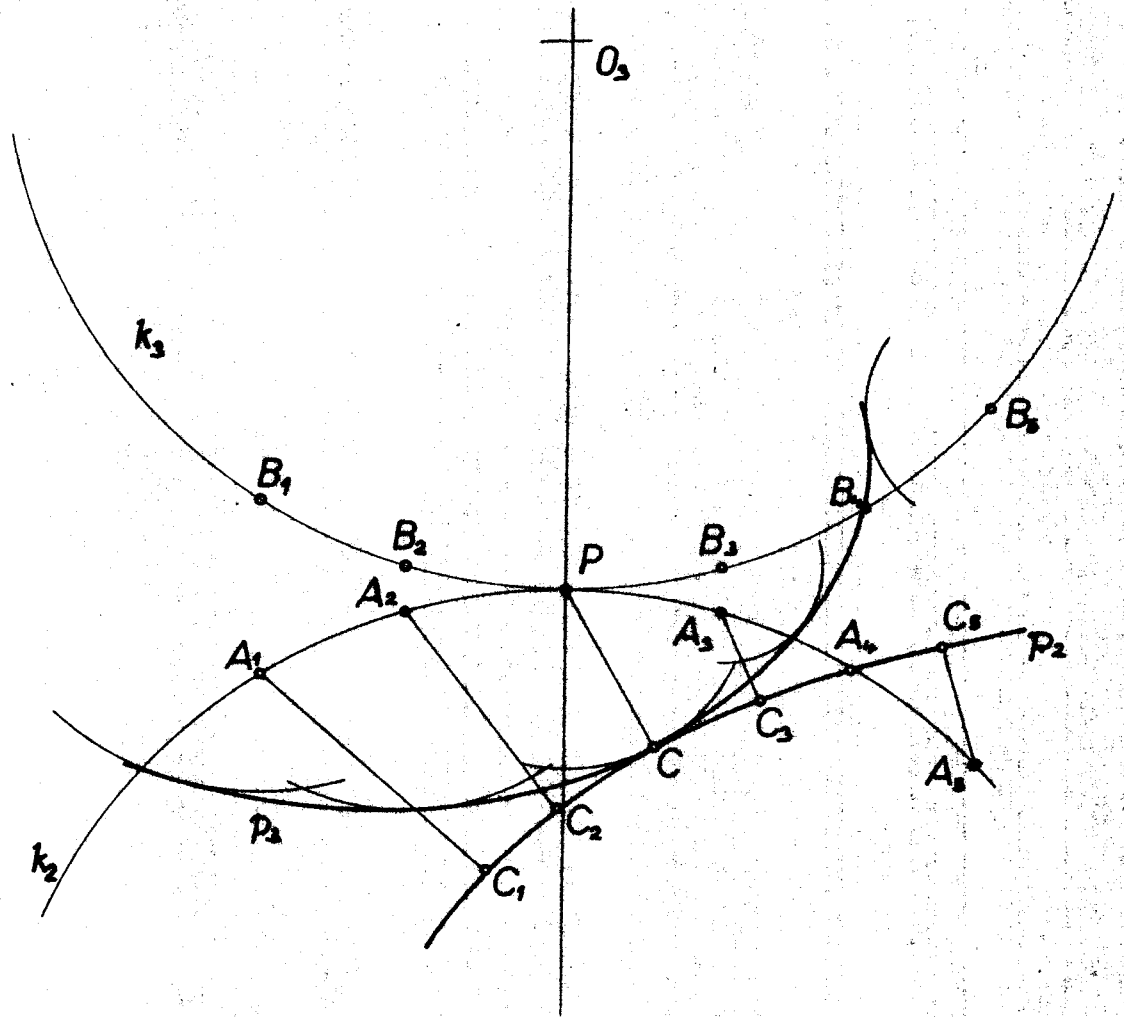
$$x = r \cdot \cos \alpha \cdot / \sin t - t \cdot \cos t /$$

$$y = r \cdot / 1 - \cos \alpha \cdot / \cdot / \cos t + t \sin t /$$

Její ekvidistanty mají rovnice:

$$x = r \cdot \cos \alpha \cdot / \sin t - / t - t_0 \cdot / \cdot \cos t /$$

$$y = r \cdot / 1 - \cos \alpha \cdot / \cdot / \cos t + / t - t_0 \cdot / \cdot \sin t /$$



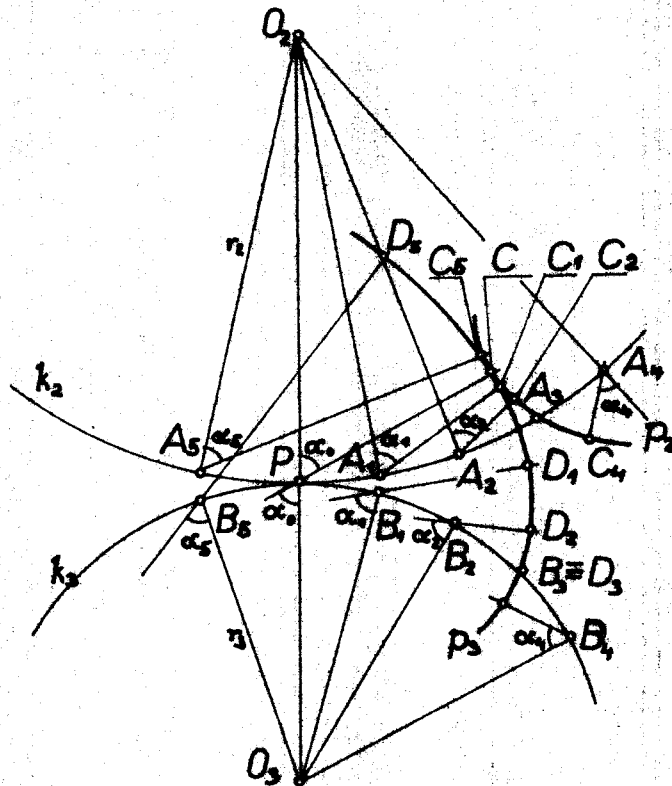
Obr. 13.

Pro význačné /na př. okrajové nebo přechodové/ body je použito konstrukce s přenesením úhlů. Tím získáme přesnou polohu sdruženého bodu na druhém profilu /obr.14/.

Konstrukce sdružených bodů spoluzabírajících profilů / 1 /.

Při kreslení fázi záběru je bod dotyku profilů p_2 a p_3 v patě C s D kolmicou spuštěné z valivého bodu P na daný profil p_2 . Bod C na p_2 je sdružen s bodem D na p_3 . Volíme na p_3 řadu dalších bodů C_1 až C_5 a hledáme pro ně na p_2 přidružené body D_1 až D_5 . V bodech C_1 až C_5 vztýčíme na p_2 kolmice, jejichž průsečíky s kružnicí k_2 označíme postupně A_1 až A_5 a k těmto bodům najdeme na kružnici k_3 přidružené body B_1 až

B_5 , a to tak, že určíme $PA_1 = PB_1$. Přeneseme úhly α_1 normal
bodů C_i s průvodičí bodů A_i na průvodiče bodů B_i a na takto
získané normály hledaného profilu p_3 naneseme $B_1D_1 = A_1C_1$.
Tím jsme našli body D_i na profilu p_3 a zároveň tečny k p_3
v těchto bodech, neboť tyto tečny jsou kolmé na normály B_1D_1 .



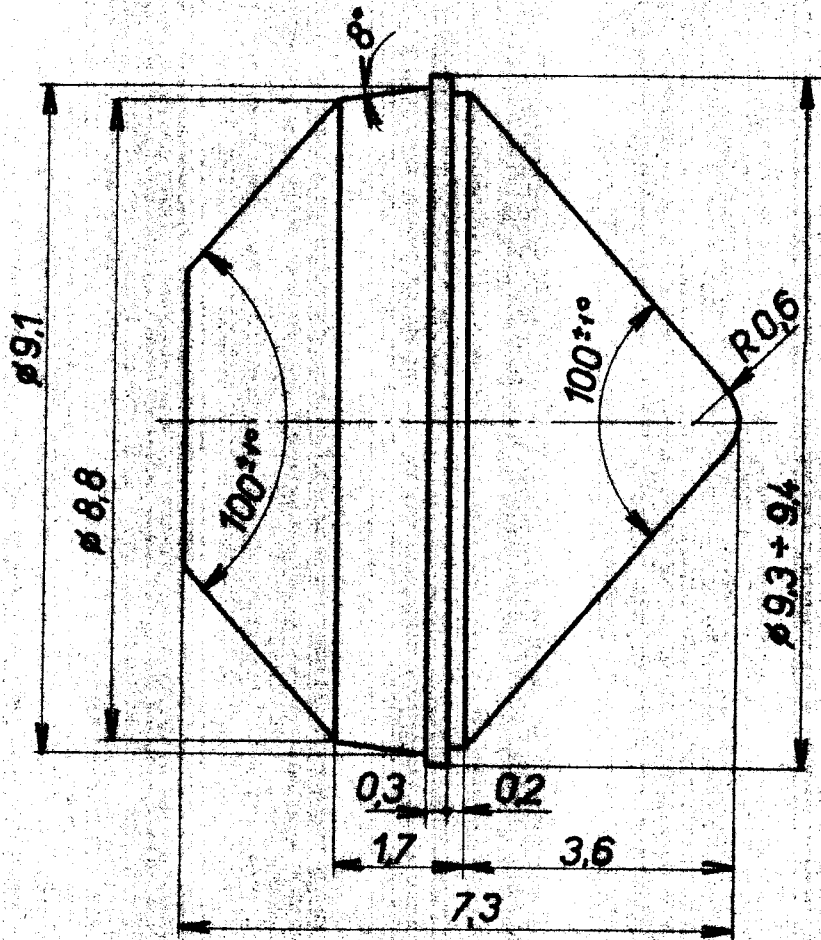
Obr. 14.

Z řady profilů výliseků byly vybrány tyto:

1. Výlisek špička s ploškou velikost ss 40 /obr.15./.
 2. Výlisek pro šatony smírek a šatony aurerit velikost
ss 48 /obr.16./.
 3. Výlisek lustrová hlavička dvoudírková velikost 14 /obr.17/.
- Konstrukce provedené pro průměr valivě kružnice /průměr role
ny/ 113 mm a jsou v měřítku 50 : 1. Tato velká zvětšení umož-
ňují přehledný průběh obou křivek profilů.

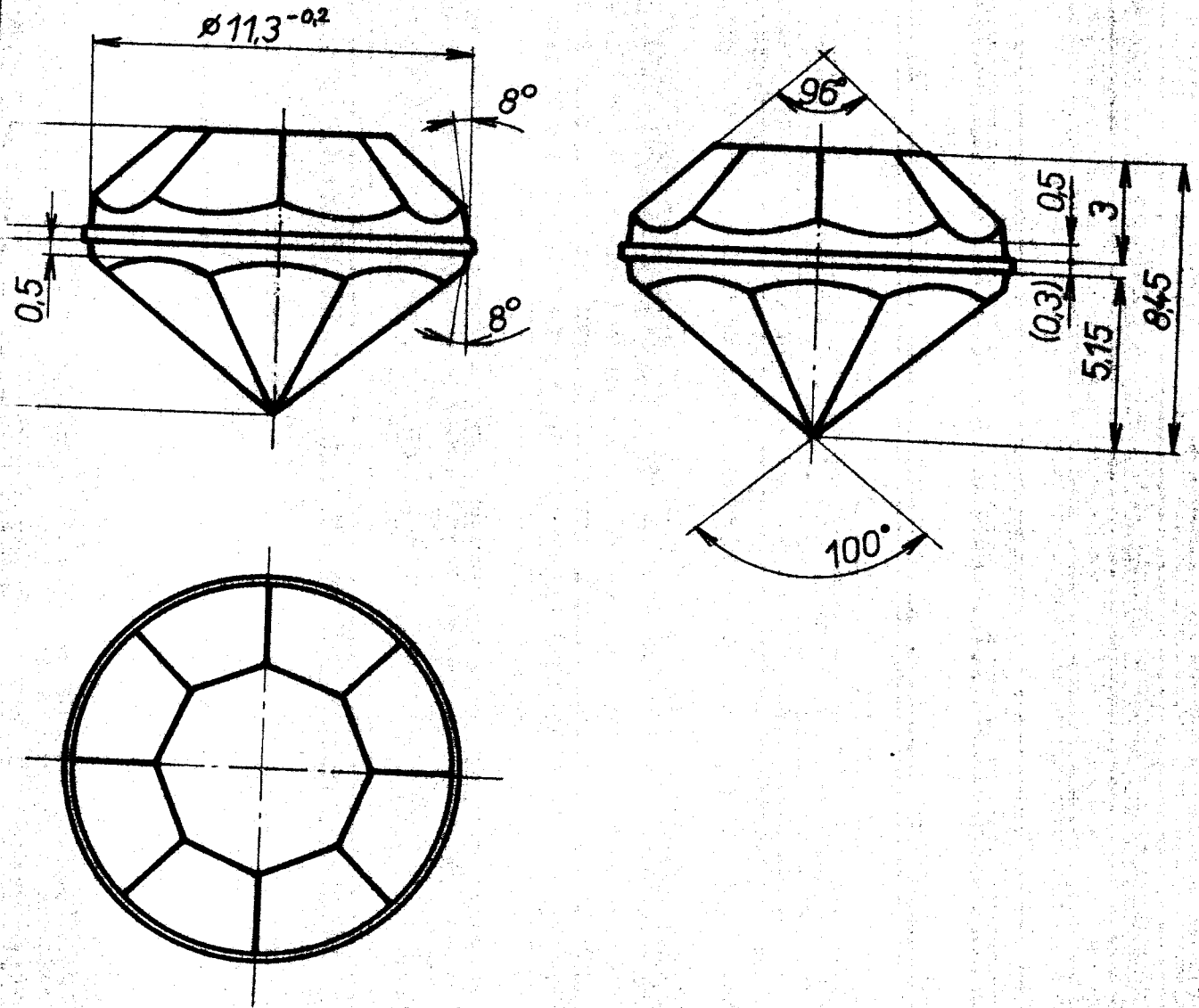
VÝLISEK ŠPIČKA S PLOŠKOU
VELIKOST SS 40

MĚŘITKO 10 : 1



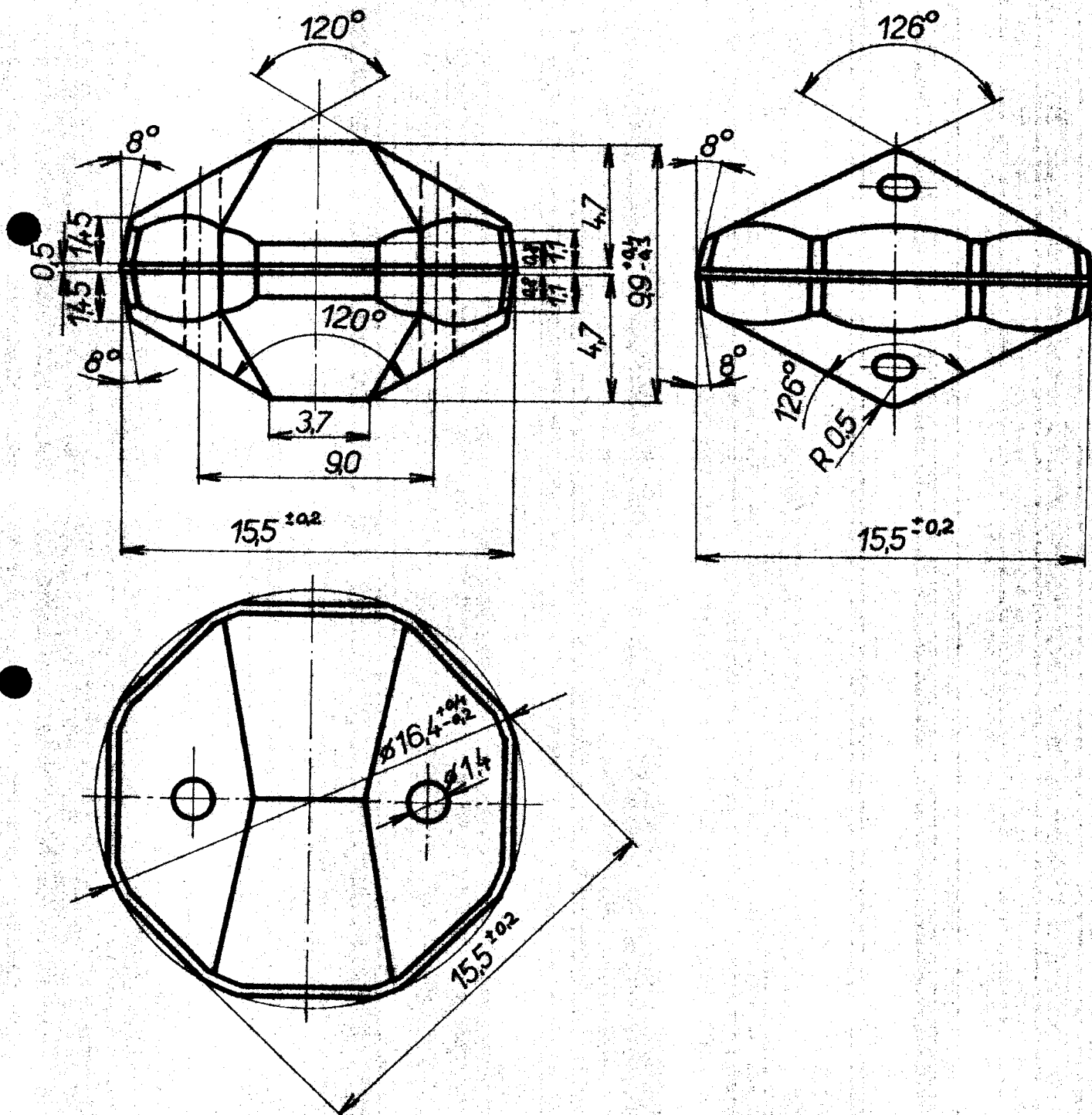
OBR. 15.

VÝLISEK PRO ŠATONY SMIREK.
VELIKOST SS 48.



OBR. 16.

LUSTROVÁ HLAVIČKA VELIKOST 14



OBR. 17.

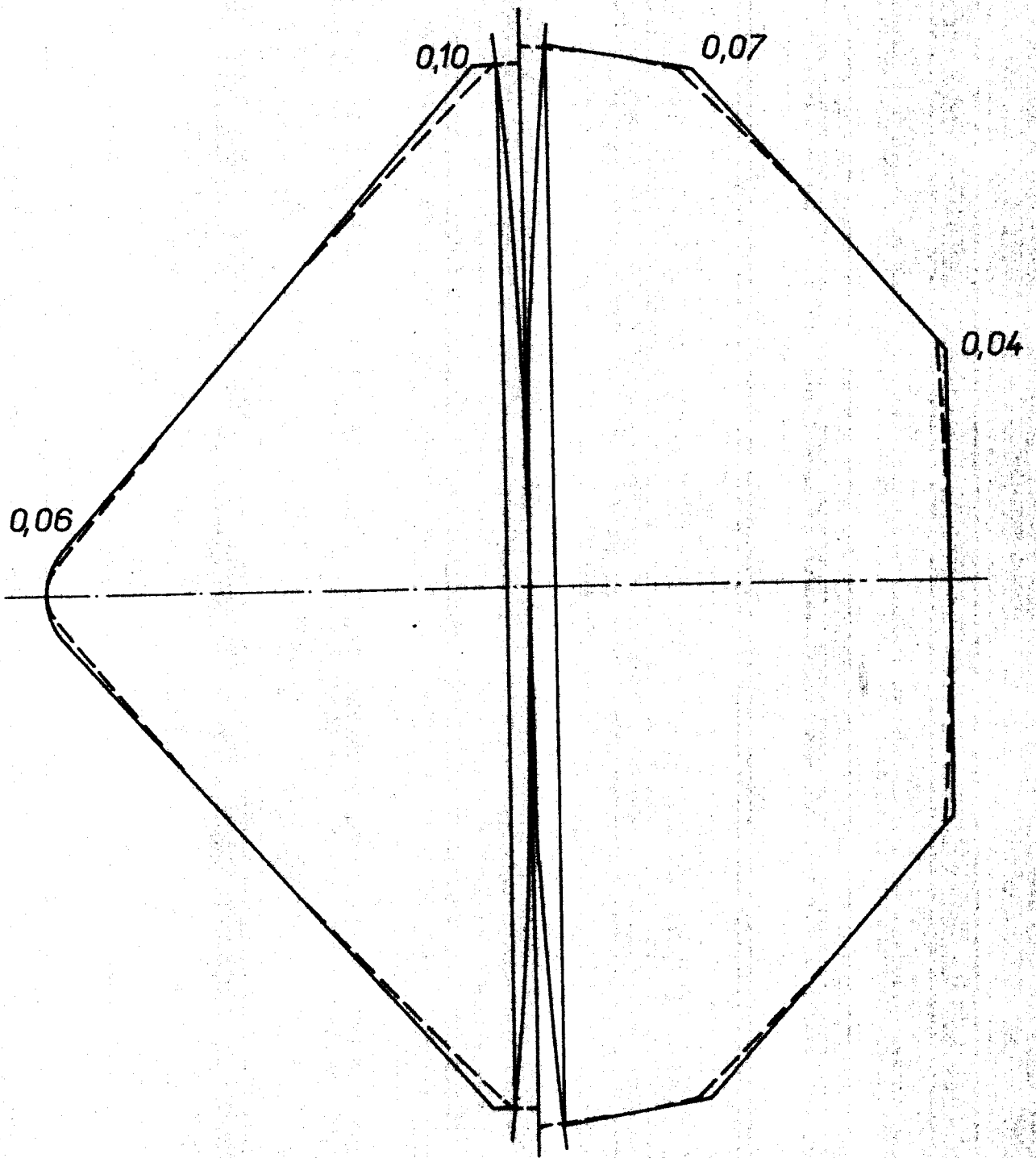
Pro názornost a další použití je sestrojen spoluzobrazující profil výlisku špičky s ploškou při průměrech valivé kružnice 120, 113, 95 a 69 mm v měřítku 20 : 1. Získaná řada dává názorný náhled na vliv velikosti průměru rolky pro jeden profil výlisku. Jelikož profily výlisků jsou souměrné, je u konstrukci ve světlení 50 : 1 na jedné polovině /pravé/ vždy provedena konstrukce spoluzobrazujícího profilu pro tvar formy přesného výlisku a na druhé /levé/ polovině je sestrojen profil formy pro daný přesný výlisek /s ohledem jen na geometrii. Profily v měřítku 20 : 1 jsou pro profil přesného výlisku spojeného s kružnicí.

Výlisek špička s ploškou velikost ss 40.

Pro průměr valivé kružnice 113 mm jsou provedeny konstrukce v měřítku 50 : 1 /příloha 2 a 3/. Odchytky označené pozicí 2, 4, /4' / nastávají při pohybu kružnice po přímce až do doby kdy se osy profilů protínají s okamžitým pólem pohybu. Odchytky 1 a 3 při opuštění uvedené polohy. Dále jsou u tohoto výlisku provedeny tvary profilů náležejícímu jeho celému profilu, který je spojen s kružnicí, pro řadu průměrů 120, 113, 95 a 69 mm v měřítku 20 : 1 /obr. 18, 19, 20, 21/. Naměřené maximální deformace jsou uvedené v tabulce 1.

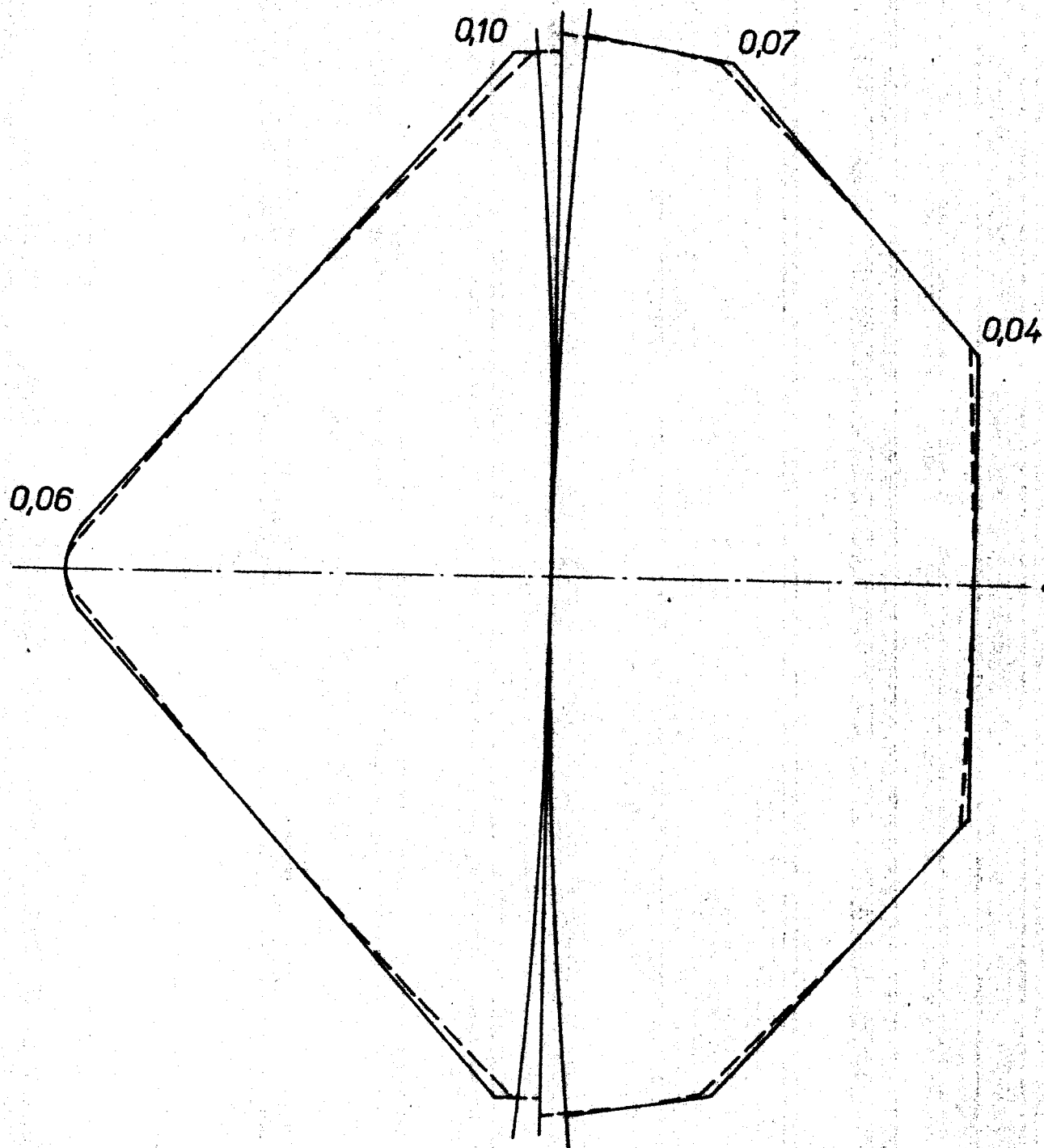
maximální odchytky profilů v mm		valivé kružnice průměru /mm/			
		120	113	95	69
na půlce profilu se špičkou	u vrcholu	0,06	0,06	0,07	0,10
	u průměru v. kružnice	0,09	0,10	0,13	0,17
na půlce profilu s ploškou	na plošce	0,04	0,04	0,05	0,07
	na boku	0,07	0,07	0,08	0,09

Tab. 1.



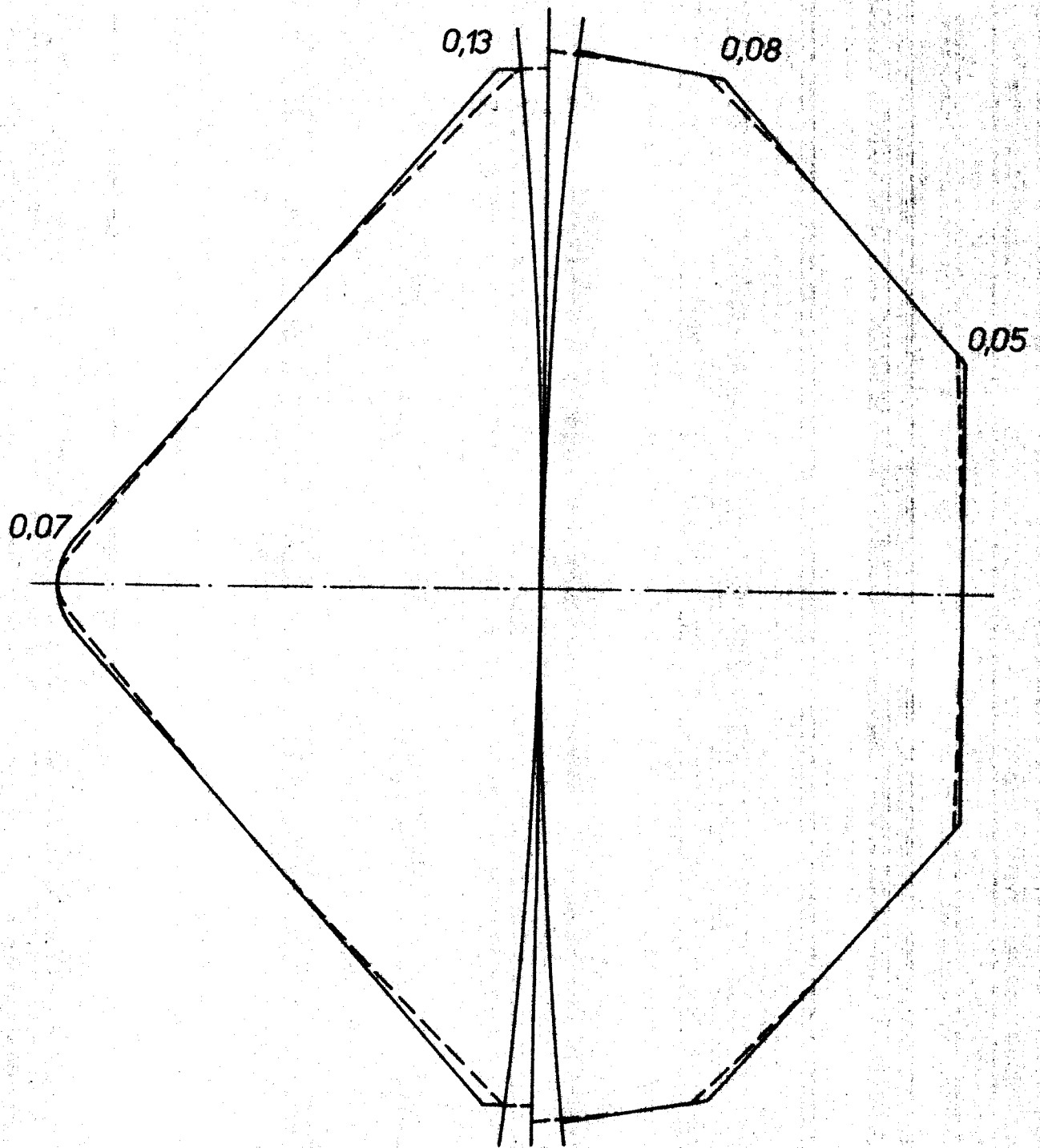
Deformace při průměru valení 120 mm/ M 20 : 1/.

Obr. 18.



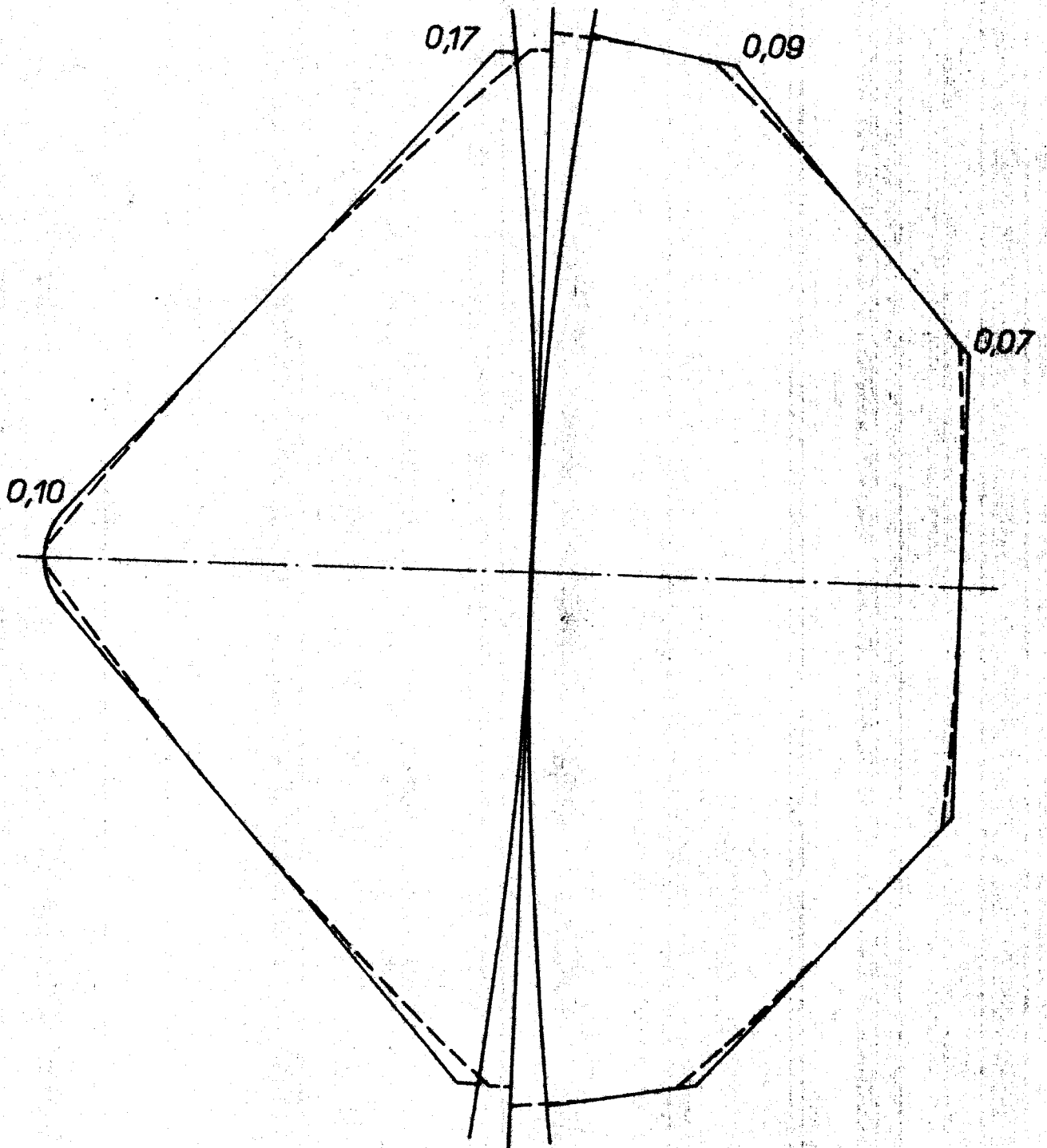
Deformace při průměru vložky 113 mm / M 20 : 1/.

Obr. 19.



Deformace při průběhu válci 95 mm / μ 20 : 1/.

Obr. 20.



Deformace při průměru valení 69mm /M 20 : 1/.

Obr. 21.

Chceme-li tvořící profil spojit s valivou kružnicí tak, aby hrana profilu byla na této kružnici, je nutné vzájemné oddálení hrany od přímky po které dochází k odvalu. Výsledkem je pak vzájemné oddálení obou pálek profilů v nakreslené poloze o hodnoty uvedené v tabulce 2.

	průměr valivé kružnice v mm			
	120	113	95	69
vzájemné posunutí profilů v mm.	0,35	0,36	0,43	0,57

Tab. 2.

Výlisk pro šatony smírek a šatony autorit velikost se 48 /příloha 4 a 5/.

S přiložených konstrukcí je možné odměřit odchylky spoluzesbírání profilů. Pro profil tvaru přesného výlisku, který je spojený s kružnicí, jsou maximální odchylky na pálece profilu se špičkou 0,17 a 0,12 mm, na pálece s ploškou 0,06 a 0,14 mm. Pro profil tvaru přesného výlisku, který je spojený s přímkou, jsou maximální odchylky na pálece profilu se špičkou 0,16 a 0,13 mm, na pálece s ploškou 0,08 a 0,15 mm. Přitom odchylky označené ⁰pálcí 2 a 4 nastávají při pohybu kružnice po přímce až do doby, kdy se osa profilu protíná s okamžitým pólem pohybu. Odchylky označené pozicí 1 a 3 pak při opuštění uvedené polohy.

Na vzdálenosti 5,65 mm od bodu dotyku kružnice s přímkou je jejich odchylka již 0,3 mm. Vzdálenost obou pálek profilu výlisku je tedy 0,6 mm.

Lustrová hlavička dvoudírková velikost 14 /příloha 6/. Maximální průměr vylisku 15,5 mm je pro odvalování na kružnici průměru 113 mm po přímce relativně velký. Odchylna této kružnice od přímky na vzdálenosti 7,75 mm od jejího bodu dotyku je již 0,54 mm. Oddálení obou půlek profilu je pak 1,08. V důsledku plochého profilu vychází při vrcholu malé odchylky 0,04 mm, ale na okrajích až 0,37 mm.

Jsou-li profily v poloze, kdy jejich osy procházejí okamžitým pólem otáčení, lze jednoznačně říci, že čím více se profil blíží profilu kružnice se středem v pólu, tím menší jsou deformace způsobené odvalováním. U kružnice je v této poloze každý bod výtvarným neboli normály v každém bodě na ní procházejí pólem. V okolí paty kolmice k přímkovému profilu, který je spojen s odvalující se kružnicí, vedené z pólu jsou malé odchylky profilů plynoucí z průběhu cykloidy, jež je profilem spoluzabírajícím a dotýká se přímky v této patě. Její poloměr křivosti v této patě je dvakrát větší než vzdálenost paty od pólu. Proto čím dále je tento průsečík od pólu, tím menší budou odchylky profilů v jeho okolí a rozsah malých odchylek větší /menší křivost cykloidy/. Názorně je to vidět na profilu lustrové hlavičky spojeného s valivou kružnicí průměru 113 mm /příloha 6/. Ve vzdálenosti 7,75 mm od pólu pohybu v této poloze profil začíná pod úhlem 82° . Spoluzabírající cykloida se dotýká v této části profilu velmi daleko od pólu, čili má velký poloměr křivosti v bodě dotyku /poloměr křivosti cykloidy se rovná dvojnásobné vzdálenosti bodu dotyku od pólu/ a její odchylky od profilu přímky jsou malé. Dále se ovšem profil lomí na úhel 27° , takže kolmice z pólu na přímku vytváří bod, který má menší vzdálenost od pólu /menší poloměr křivosti dotýkající se

cykloidy/. Tím, že tento bod je více vzdálen od bodu zlomu profilu, je vzdálenost přísky od spoluzabírající cykloidy v bodě zlomu 0,37 mm.

Získané výsledky z konstrukcí se použijí pro konstrukce s uvažováním lisovacího procesu při odvalování, při kterém se musí uvažovat s přemísťováním skloviny.

4. Odvalování ovlivněné lisováním a pohybem skloviny.

V předešlé kapitole bylo zhruba probráno teoretické odvalování jednoduchých profilů. Určoval se spoluzabírající profil k danému profilu tvaru výlisku na základě geometrických závislostí.

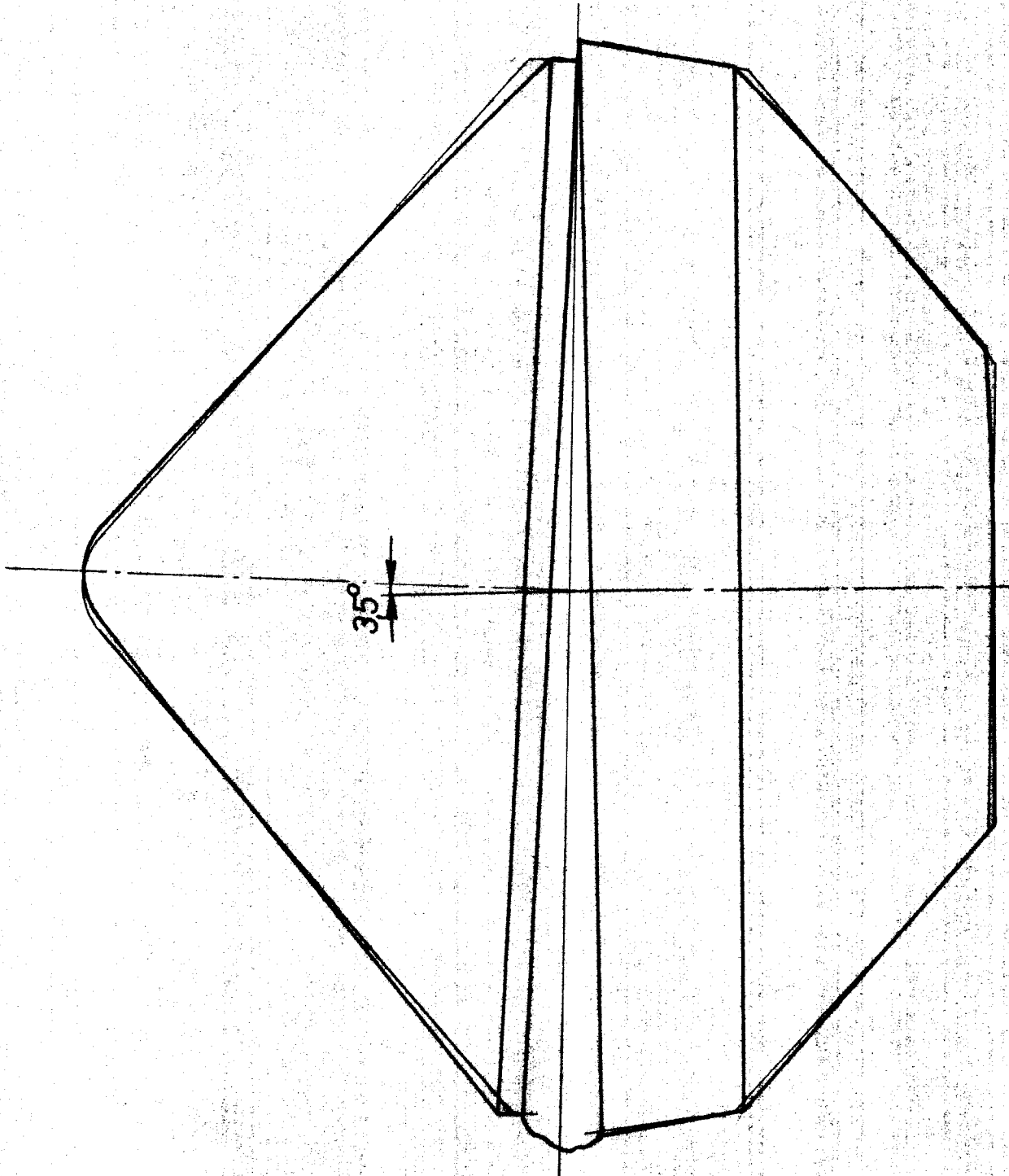
Při odvalování mezi rolnami dochází vlivem odvalování k deformacím výlisku. Vytěšňovaná sklovina v tlačných místech se snaží vlivem působících sil přemístit do volných prostorů. Tím dochází k zaplňování dutin, které se v průběhu pohybu uvolňují. Unikání stlačované skloviny ven s kaplíku brokem brání zatuhlejší sklovina v mezeře mezi rolnami. Proto se přeskupování děje poněkud směrem dopředu, kde se vlivem vzájemného oddalování kaplíků uvolňují nové dutiny. Celý děj probíhá velmi rychle, a proto má vliv i dynamika pohybu skloviny ve formě.

V první polovině lisovacího procesu t.j. do doby, kdy osa kaplíku protne okamžitý pól pohybu /osy protilehlých kaplíků se ztotožní/, dochází k lisování proužku skloviny a vytěšňování přebytečné. Protíná-li osa kaplíku okamžitý pól pohybu je kaplík v hlavní lisovací poloze, ve které je vlivem tlaku zcela zaplněn /tlak 20 až 50 MPa/. Tím odpadá vliv odvalování na tvar výlisku až do této polohy. Vysoký tlak působí dokonale vyplnění formičky.

Při dalším pohybu kaplíku z hlavní lisovací polohy dochází k oddalování přední poloviny kaplíku a k přiblížování zadní. V přední části tlak klesá, proto je sklovina hrnuta ze zadní do přední části a zaplňuje uvolňující se prostory. Největší deformace jsou těsně za hlavní lisovací polohou /se úvratí/, což lze zjistit z geometrického odvalování. Na př. s výliskem špička s ploškou velikost ss 40 a průměru rolny 113 je to do 2° za úvratí /obr. 22/, kdy dochází k největším deformacím zadní části výlisku, deformacím špičky v horní části ze předu a plošky v zadní části. Při úhlu natočení větším jak 2° jsou deformace profilu minimální. Dolisováním vznikne:

- natočení os spodní a vrchní části výlisku přibližně o $3,5^\circ / 3^\circ$ až 4° .
- zvětšení broku přední části.

Velmi obtížně by se vyjadřoval objem stlačený a vytlačený při dolisování. Přibližné řešení lze provést pomocí ploch na profilu výlisku s ohledem na skutečnost, že objem se stlačuje do výlisku a vytlačuje vně něj na větší poloměr /plošně vyjádřený stlačený objem je menší než stejnou plochou vyjádřený objem vytlačený/. Rozdíl se značně vyrovnává tvarem výlisku.



Otvorený tvar vyliaku / $\frac{1}{2}$ rolny 113 mm/.

Obr. 22.

5. Skutečné výlisky.

Proměřením skutečných výlisků je možné jejich porovnání s teoreticky odvozenými profily. Porovnání je obtížnější tím, že skutečné výlisky nejsou lisovány geometricky přesnými nástroji. Při proměřování výlisků je nezbytné proměřit rovněž příslušné rolny. Z provozních důvodů toto není vždy snadné. Každý kaplík na obvodě rolny má jiné tolerance způsobené výrobou, proto se musí počítat s průměrnými hodnotami naměřenými na výliscích a na rolnách. Tento postup byl uplatněn při proměřování ocelových rotačních nástrojů průměru 113 mm a jimi vylisovaných špiček s ploškou velikost 3340 na závodě Dolní Prysok n.p. JŠ.

Z dopravního pásu byly odebrány vzorky výlisků a ty pak proměřeny na profilprojektoru při 10ti násobném zvětšení. Výsledky měření jsou sestaveny v tabulce 3. Na závodě byly tentýž den proměřeny vlastní rotační nástroje posuvným měřítkem a Brinellovou lupou. Naměřené hodnoty jsou zakresleny na obr. 23.

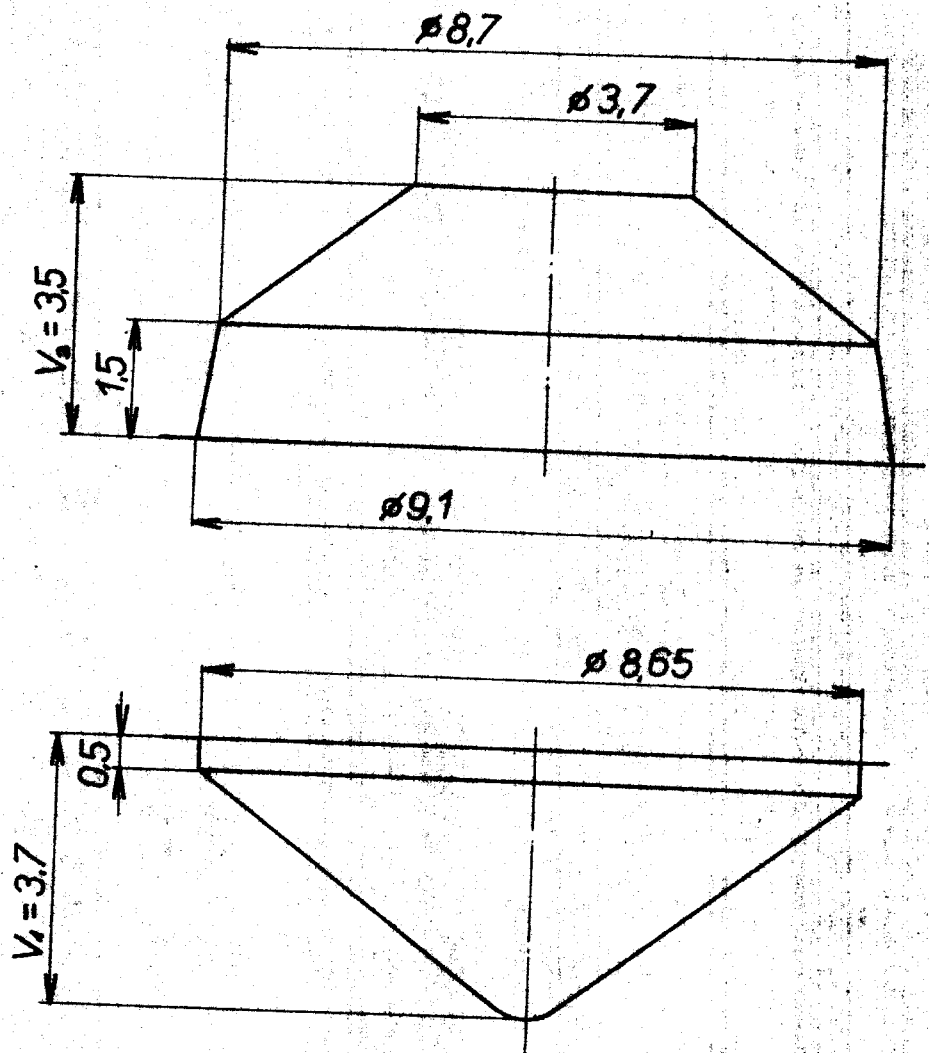
Z průměrných výsledků je nakreslen profil výlisku v měřítku 20 : 1 /obr.24/. Je vidět, že brok v přední části výlisku je téměř dvojnásobný oproti broku v zadní části. Různoběžnost os obou polovin výlisku je průměrně $3,4^\circ$. Rozměry výlisku ve směru pohybu jsou menší přibližně o 0,1 mm ve srovnání s rozměry v kolmém axiálním směru. Tyto deformace ve směru pohybu vznikají pomalejší rychlostí dopravního pásu vzhledem k obvodové rychlosti rolna.

Nejpřesnější získání náhledu na skutečné deformace při vlastním lisování je možné provést jenom proměřením kaplíku a příslušného výlisku z něho získaného. Proto bylo provedeno měření na rotačním máčkadle RZ 120, které je instalováno na

Hodnoty v mm.

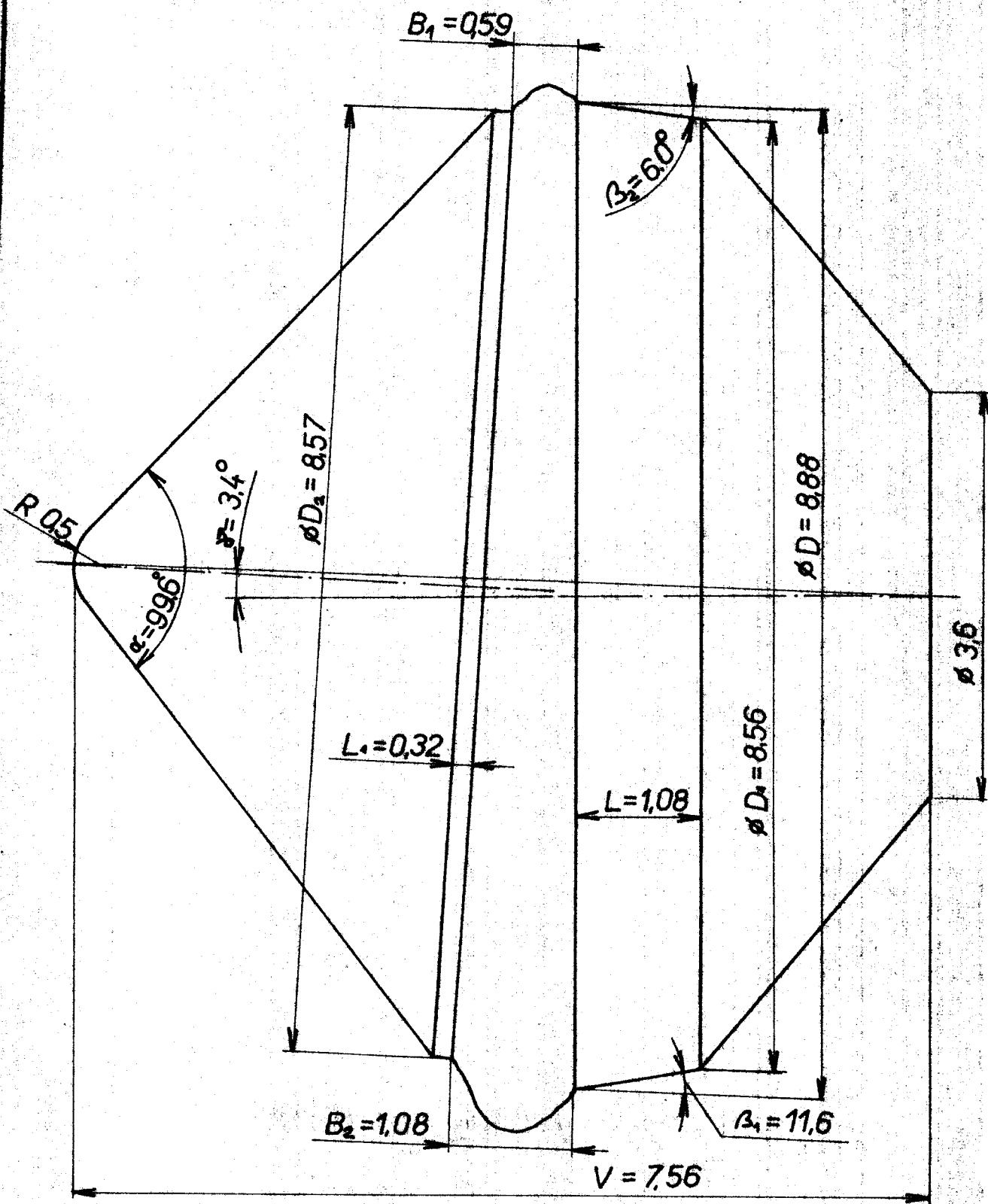
D	D ₁	D ₂	B ₁	B ₂	L ₁	L	V	α°	β ₁ °	β ₂ °	γ°
8,90	8,60	8,60	0,6	0,9	0,4	1,1	7,6	100	11	7	3,5
8,90	8,60	8,40	0,5	1,1	0,4	1,0	7,6	100	11	6	3,5
9,90	8,60	8,60	0,5	1,1	0,3	1,0	7,5	98,5	12	7	3,5
8,90	8,60	8,55	0,5	1,1	0,3	1,0	7,6	99	12	6	4,0
9,00	8,60	8,65	0,5	1,2	0,3	1,1	7,5	100	10	8	4,0
8,80	8,50	8,50	0,65	1,1	0,35	1,05	7,7	100	12	6	3,0
9,00	8,60	8,65	0,5	1,0	0,3	1,1	7,5	99,5	12	7	4,0
8,80	8,50	8,45	0,6	1,1	0,3	1,0	7,5	100	11	7	3,5
8,80	8,50	8,55	0,6	1,2	0,3	1,05	7,6	99	12	3	3,0
8,80	8,50	8,65	0,65	1,2	0,3	1,05	7,5	99	12	6	3,0
8,80	8,60	8,55	0,6	1,1	0,4	1,05	7,55	99,5	11	6	3,0
8,90	8,60	8,50	0,7	1,2	0,3	1,0	7,55	100	12	6	3,5
8,80	8,50	8,50	0,5	1,1	0,3	1,0	7,6	100	11	7	3,5
8,85	8,50	8,50	0,6	1,0	0,3	1,0	7,5	99,5	11	7	3,0
8,80	8,60	8,65	0,6	1,0	0,3	1,0	7,6	99,5	12	6	3,5
8,80	8,50	8,50	0,5	1,0	0,3	1,1	7,55	99,5	12	6	3,5
8,80	8,60	8,60	0,5	1,1	0,3	0,9	7,5	100	12	7	4,0
9,00	8,60	8,65	0,5	1,0	0,35	1,0	7,6	99	12	6	3,0
8,90	8,60	8,55	0,6	1,0	0,3	1,0	7,6	100	11	7	3,0
8,90	8,50	8,65	0,55	1,0	0,35	1,1	7,55	99,5	12	6	3,5
9,00	8,60	8,60	0,5	1,0	0,35	1,0	7,5	99,5	11	7	3,5
Průměrné rozměry výsledků.											
8,88	8,56	8,57	0,59	1,08	0,32	1,08	7,56	99,6	11,6	6,0	3,4

Tab. 3.



Rozměry profilu naplínku / M 10 : 1/.

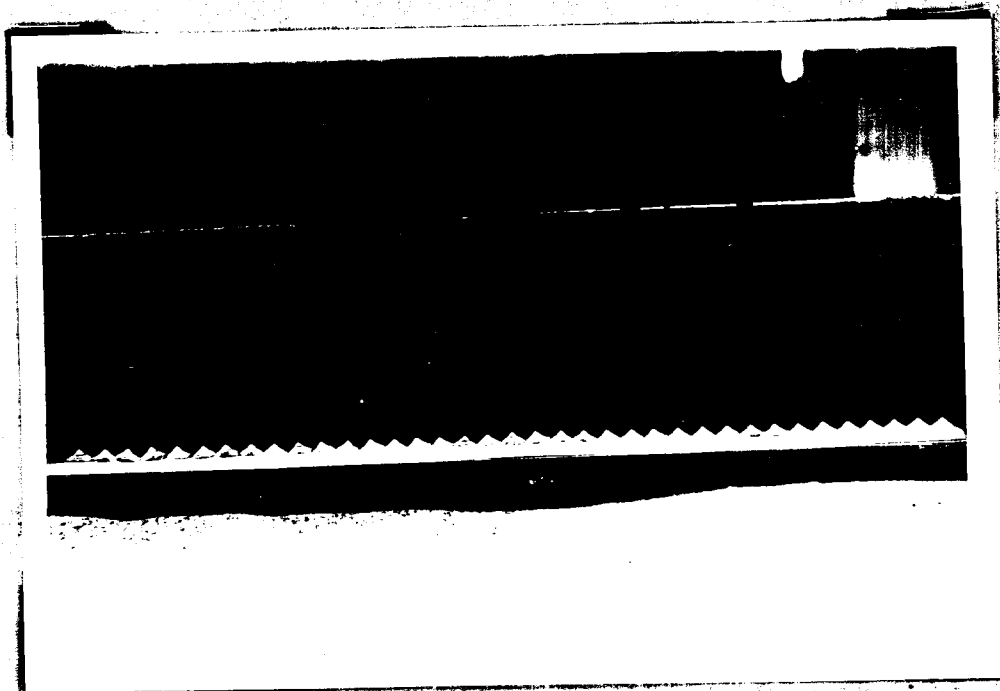
Obz. 23.



Výlisek z průměrných hodnot / M 20 : 1 /.

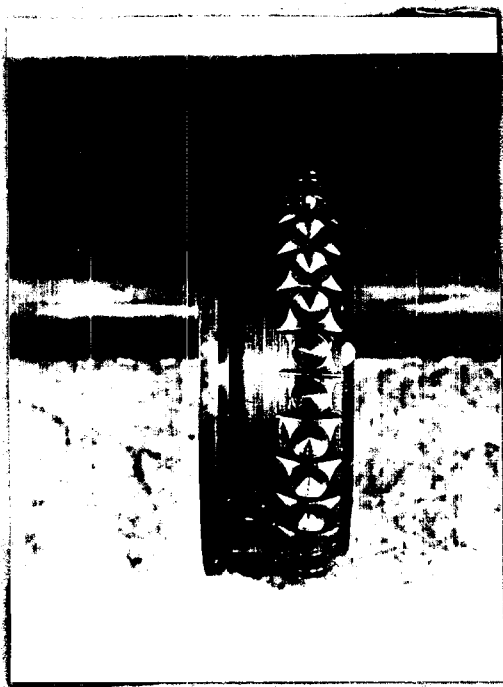
Obr. 24.

školním pracovišti. Výsledkem bylo získání řady vylisků se známými vzájemně přifazenými kaplíky na obvodě rolny /obr. 25./



Obr.25.

Jednalo se o vylisky špičky s ploškos velikost se 40 z ocelových roln průměru 120 mm /obr.26, 27/.



Obr.26.

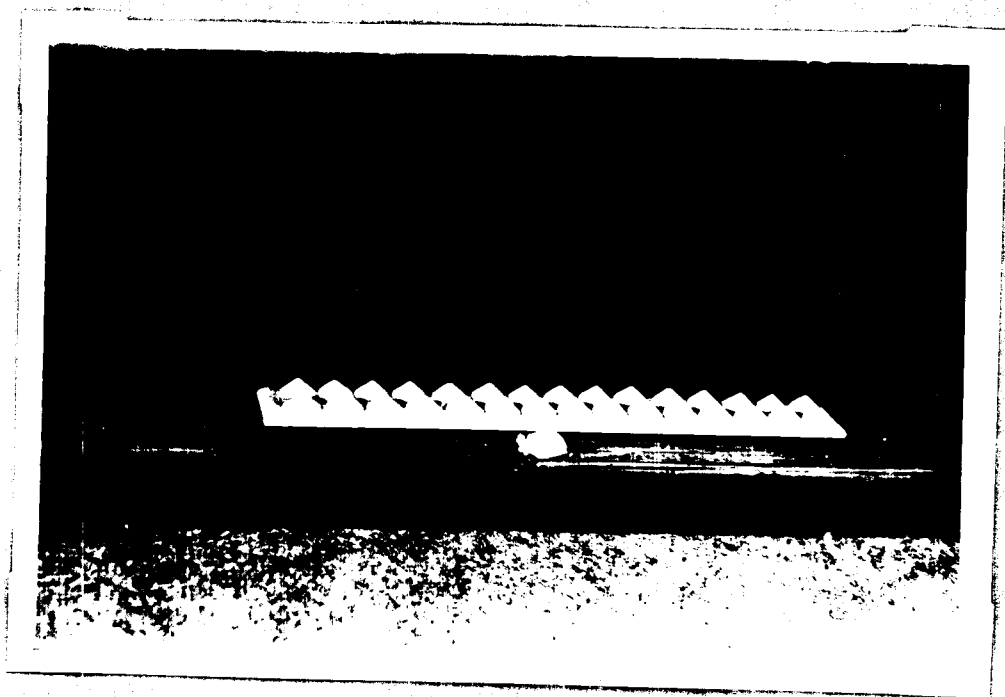


Obr.27.

Rozměry jednotlivých kaplíků se získaly pomocí jejich obtisků. Jako obtisková hmota byl použit "Modelit", který lze teplem vytvrdit /obr.28, 29/. Výlišky a vytvrzené obtisky kaplíků byly proměřovány na profil projektoru světění 20:1.



Obr. 28.



Obr. 29.

Výsledky pro výlisky jsou v tabulce 4, označení rozměrů jako v tabulce 3.

Délkové hodnoty v tabulce jsou v mm.

č.	D	D ₁	D ₂	B ₁	B ₂	L ₁	L	V	α°	β ₁ °	β°	γ°
1	9,4	9,0	9,0	0,75	1,5	0,3	1,1	7,75	103	14	8,5	3,5
2	9,45	8,95	9,0	0,75	1,3	0,3	1,1	7,7	104,5	15	8	3,5
3	9,5	9,0	9,05	0,80	1,3	0,25	1,15	7,7	104	15	11	3,5
4	9,45	8,95	9,05	0,85	1,2	0,25	1,2	7,7	103	14,5	12	3,5
5	9,5	9,0	9,05	0,80	1,3	0,25	1,15	7,65	104,5	15	10	3,5

Tab. 4.

Výsledky měření obtisků forem jsou v tabulce 5. Hodnoty V₁ a V₂ jsou patrné z obr. 23.

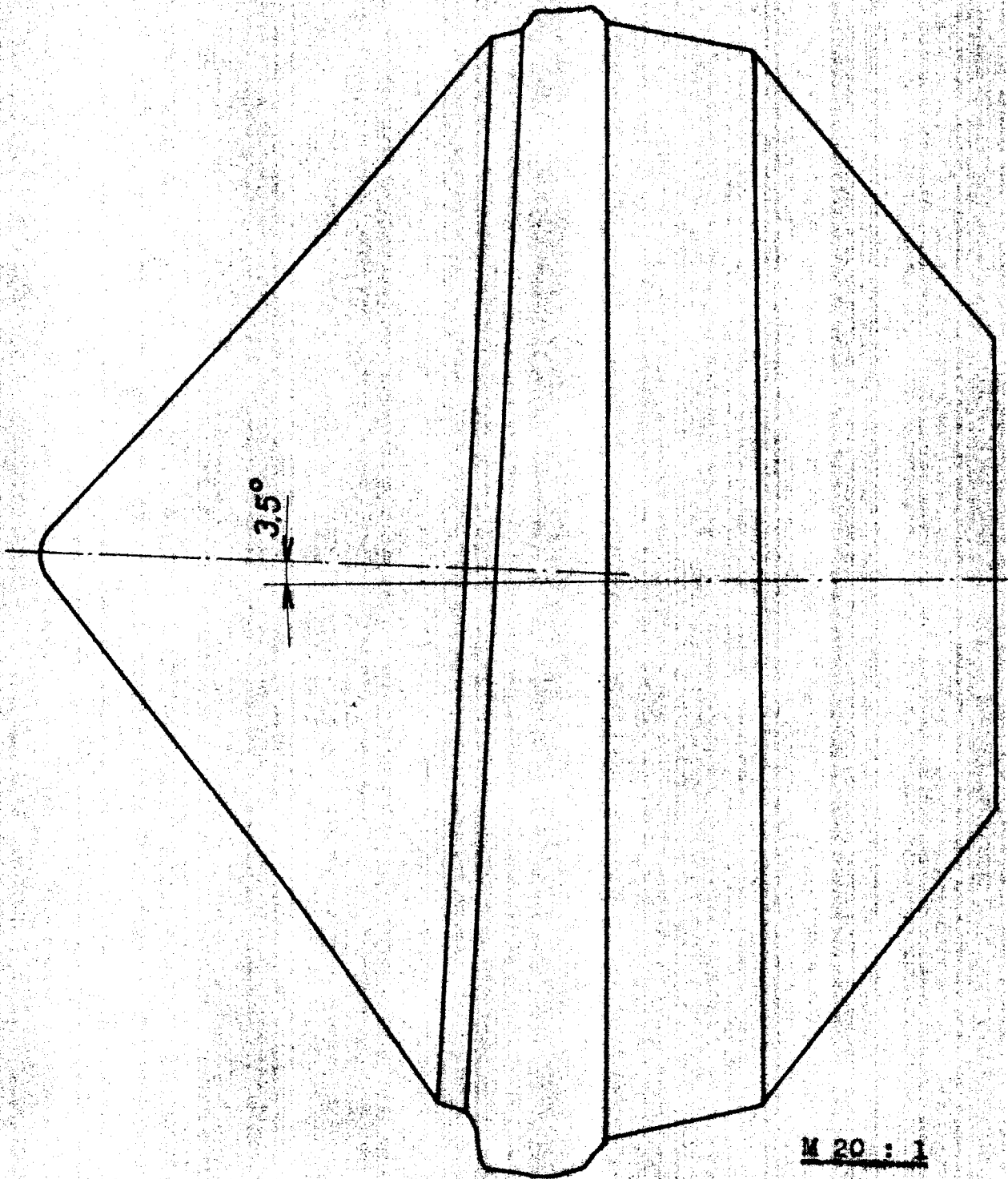
Délkové hodnoty v tabulce jsou v mm.

č.v.	D	D ₁	D ₂	L ₁	L	V ₁	V ₂	°	°
1	9,25	8,85	8,85	0,15	1,1	3,65	3,35	100,5	11
2	9,3	8,85	8,83	0,20	1,05	3,70	3,25	101	11,5
3	9,3	8,85	8,80	0,15	1,10	3,60	3,25	101	11,5
4	9,25	8,80	8,85	0,15	1,15	3,70	3,10	101	11,0
5	9,30	8,80	8,90	0,20	1,10	3,75	3,00	101	11,5

Tab. 5.

Z porovnání výsledků obou tabulek 4. a 5. je patrné, že výlisky byly těsně po lisování mírně natahovány rychlejším pásem. Rozměry výlisku ve směru pohybu jsou větší než příslušné rozměry profilu kaplíku ve směru kolmém/ axiálním /.

Nejpřesnější profil kaplíku má výlisek č. 4, proto je nakreslen na obr.30., který je pro další použití.



M 20 : 1

Profil výlistku špičky s ploškou vel. ss 40, s rolny 120 mm.

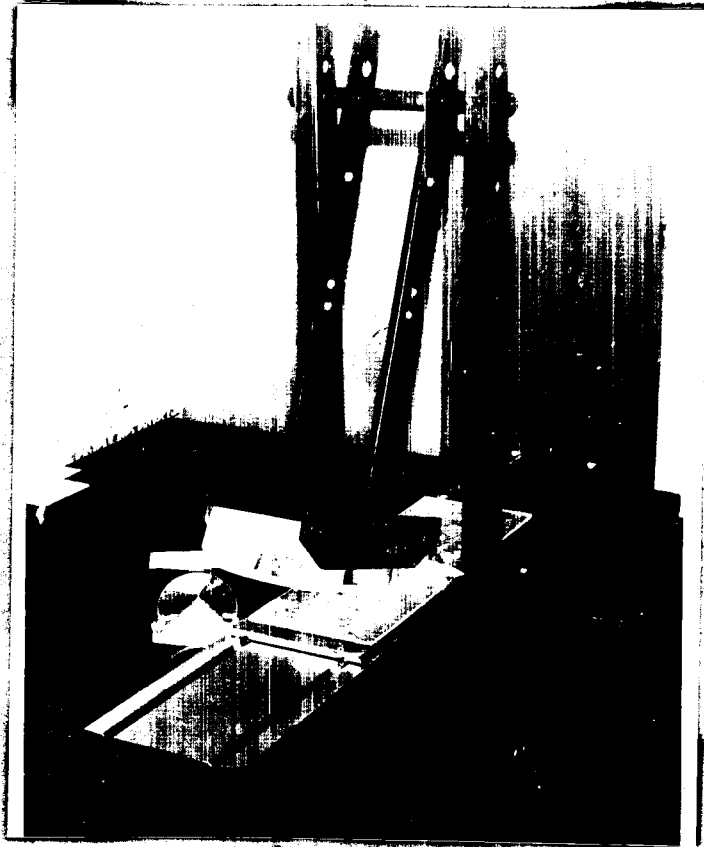
Obr. 30.

6. Modelování práce rolny.

Chceme-li popsat nějaký složitý děj, je nejnvhodnější jej modelovat pomocí modelu, který se mu co nejvíce blíží. Pomocí modelu též můžeme navrhnout a odzkoušet změny, které vzniknou na př. novou konstrukcí.

Proto byla snaha namodelovat funkci nástroje rotačního mačkadla. V diplomové práci je navržen model rotačních forem, který umožňuje odzkoušet různé tvary výlisků pro různé používané průměry rolen. Proměněním vymodelovaných výlisků lze pak tyto porovnat s výlisky optimálními, skutečnými⁸ geometricky odvozenými. Tím zjistit, zda se modelování blíží skutečnému ději.

Pro názornost a možnost snadného proměnění byl zvolen model v měřítku 10:1 v porovnání se skutečnými rotačními nástroji. Konstrukce je názorná s konstrukčního výkresu a vlastního modelu /obr.31/.



Obr. 31.

Při modelování práce rotační formy se vychází ze zjednodušujícího předpokladu, že tvarování lze rozdělit rovinou proloženou osami rolen na dva samostatné procesy lisování. Nalisování jedné a druhé půlky výlisku. Tento zjednodušující předpoklad se neprojeví u modelování souměrného výlisku podle uvedené roviny. Určité nepřesnosti je možné se dopustit u nesouměrných profilů podle roviny broku. U takového výlisku dochází po projití kaplíku hlavní lisovací polehou při dalším pohybu k vzájemnému ovlivňování tlaky vzniklémi deformacemi skloviny vlivem odvalování. Vliv má i rozložení viskozity skloviny ve výlisku během tvarování, které je velmi složité. Použití vosků jako modelové hmoty, která by mohla modelovat i zchlazování povrchových vrstev je omezeno vyšší teplotou, při níž by se modelovalo /60° C/. Vyhovující vlastnosti vykazuje modelová hmota pod názvem "Modelit". Výhodou této hmoty je možnost vytvrzení vzorku. Tím lze vzorek blíže přeměřovat bez jeho poškození.

Popis konstrukce modelu.

Základnu modelu tvoří profil U 18, na kterém v drážkách s kulíčkami pojíždí pojížděcí plošina. Ze strany profilu jsou přichyceny dvě stojny. V nich jsou odstupňované otvory pro modelování rolny průměru 120, 113, 95 a 69 mm. V otvorech je uchycen příložík, na kterém je otočně zavěšeno kyvadlo. Na kyvadle jsou jednotlivě přišroubovány tři formy s tvarem kaplíku. Dělenost forem je důležitá při nastavení různých průměrů otáčení, umožňuje jejich vzájemné přestavení pro každý průměr. Formy jsou plexisklové. Mají vyleštěný povrch, což umožňuje pozorovat lisovací děj ve formě. Na pojížděcí plošinu je pomocná deska s důvodu snadné manipulace s připravenou hmotou a s výlisky.

Pro modelování byl vzat tvar výlišku špičky a pleškou velikosti as 40. Výsledky pak bylo možno porovnat s prodělanými výlišky skutečnými.

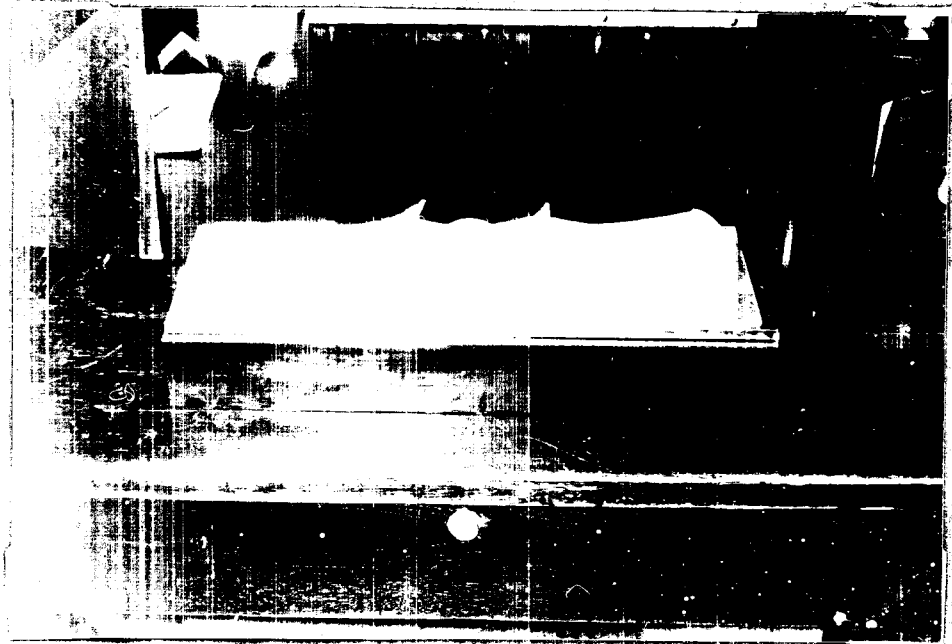
Popis funkce modelu.

Na pomocnou desku se vytvaruje část modelovaného proužky půlkruhového průřezu. Povrch je nutné vyhladit a natřít dělicím prostředkem z důvodu jeho lepení na fermy. Jako dělicí prostředek se velmi osvědčil silikonový olej "Silikal", který je k těmto účelům výrobcem doporučován. Příprava forem před lisováním spočívá v přesném nastavení jejich vzdálenosti od pojezdové plošinky, v dokonalém očištění a vymazání silikonovým olejem. S takto připraveným modelem se může provést lisování. Při lisování je možné vyvozovat sílu na pojížděcí plošinku, na kyvadlo nebo stejnou silou na plošinku a kyvadlo. Tlakem na kyvadlo se pohyb přenáší na plošinku přes modelovací hmotu/a opačně/. Je zde možný určitý malý sklon mezi pohybem kyvadla a plošinky, proto nejdokonalejší je současné tlacení. Práce modelu je vidět na obr. 32.



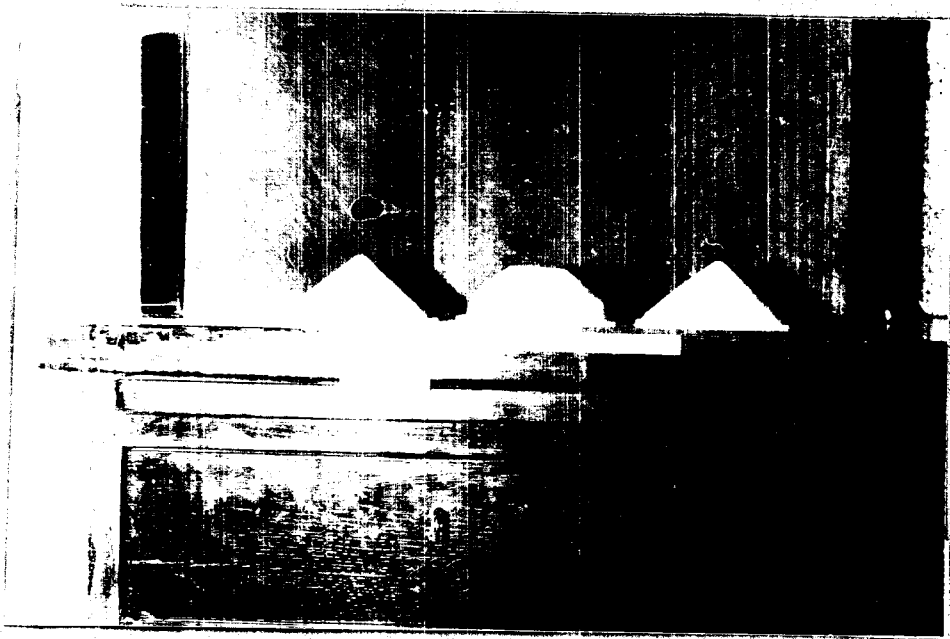
Obr. 32.

Lisováním dostaneme proužek se třemi výlisky, který tvoří model pásku výlíků spojených broken /obr.33/.



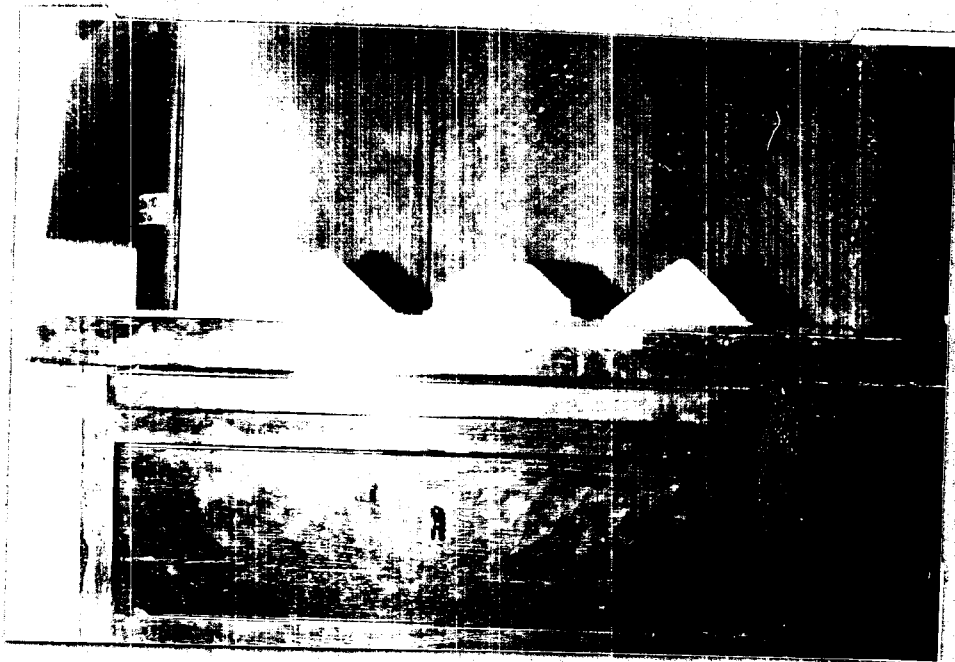
Obr. 33.

Z funkce je zřejmé, že nejpřesnější bude první a prostřední výlisek, kdy je zaručena dostatečná synchronizace mezi kyvadlem a pojižďecí plošinkou po celý tvarovací cykl. Přesnost třetího výlísku závisí na dokonalosti obsluhy, t.j. do jaké míry se zaručí synchronizovanost při vyjiždění kyvadla se sběru. Takto získané výlisky lze vytvrdit a potom proměřit, nebo je ofotografovat, což je pro modelování výhodnější, protože se šetří modelová hmota, která nelze po vytvrzení dále použít. Ofotografování je výhodnější i pro samotné vyhodnocení profilu výlísku. Obraz z filmu je možné zvětšit a obkreslit jej na výkres, na kterém snadněji a přesněji určíme všechny rozměry profilu. Fotografie jednotlivých výlísků z roln různých průměrů jsou na obr. 34, 35, 36 a 37.



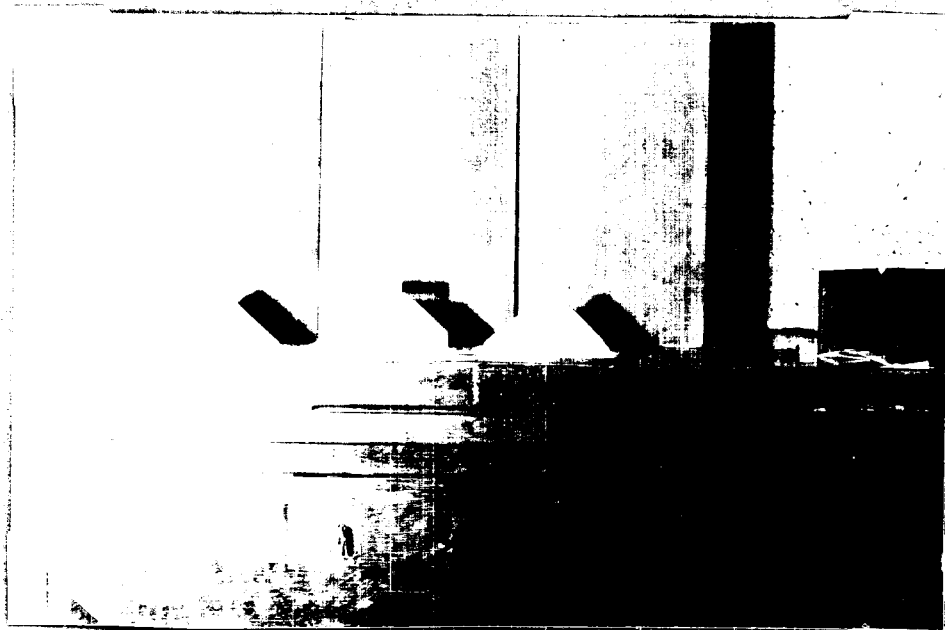
Výlisky při průměru valení 1200 mm.

Obz. 34.



Výlisky při průměru 1130 mm.

Obz. 35.



Vylisky při průměru valení 950 mm.

Obr. 36.



Vylisky při průměru valení 690 mm.

Obr. 37.

V tabulce 6. jsou hodnoty naměřené na modelech výlisku špička s ploškou velikost ss 40 pro průměr rolen 120, 113,95 a 69 mm.

Profily výlisků byly světšeny na rozměry $D = 91\text{mm}$ a $D_2 = 88\text{mm}$. Tím je umožněno přehlednější porovnání vzájemné i porovnání s rozměry výlisku danými normou. Všechní a spodní polovina výlisku jsou spojeny v jeden podle roviny podložky, na které jsou vylisovány. Tím vznikne profil celého výlisku. Hodnoty jsou v mm.

D	D ₁	D ₂	B ₁	B ₂	L ₁	L	V	α°	β_1°	β_2°	γ°
pro průměr valení 1200											
91	86	88	4,5	7,5	2	11	78,5	97	10	4	2,5
pro průměr valení 1300											
91	88	88	3,5	7,1	2	12	77	99	11,5	4	2,5
pro průměr valení 950											
91	87	88	2,8	8,4	2	12,5	78,5	99	16	4	4,5
pro průměr valení 690											
91	89	88	3,0	9,5	2	12	81	97	7	4,1	6,0

Tab.6.

Zhodnocení výsledků modelování.

Hlavní pozornost je věnována rozměrům B_1 a B_2 /na skutečném výlisku jsou to rozměry broku v jeho přední a zadní části/ úhlu γ , což je úhel vzájemného natočení os polovin profilů výlisku.

Poměr $B_2 : B_1$ se zmenšujícím průměrem modelu rolen roste. Nejmenší je při průměru otáčení 1200 mm /1,67/ a největší průměru 690 mm /3,17/.

Úhel vzájemného naklonění os polovin výlisku γ rovněž roste se zmenšujícím se průměrem valení /2,5° až 6°/.

Na obrázku 40. jsou nakresleny spojené půlky profilů modelu výlisku pro průměr valení 1200 mm v měřítku 2 : 1, na obr. 41. je rovněž nakreslen spojený profil pro odvalování při průměru 1130 mm v měřítku 2 : 1. Náčrty jsou zhotoveny pro další použití.

Hlavní zhodnocení ve vzájemném porovnání modelu výlisku a výliskem normovaným, skutečným, teoreticky lisovaným a geometricky odvaleným, je provedeno v další kapitole.

7. Porovnání výsledků.

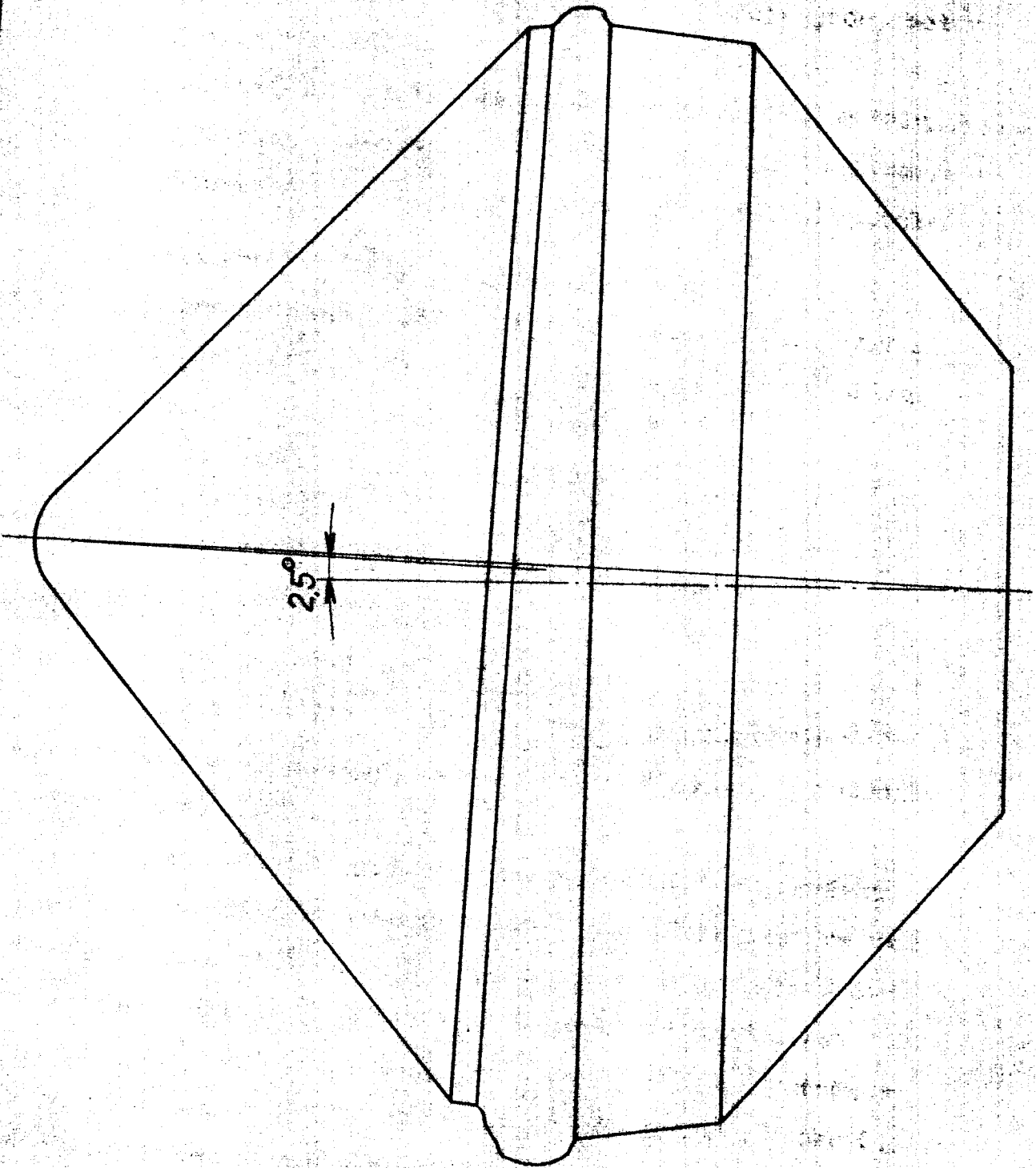
Pro výlisek špička s ploškou velikost ss40 jsou získány pro průměr rolky 120 a 113 mm rozměry profilu výlisku:

normalizovaného /optimálního/
skutečného
modelovaného
teoreticky lisovaného
geometricky odvaleného

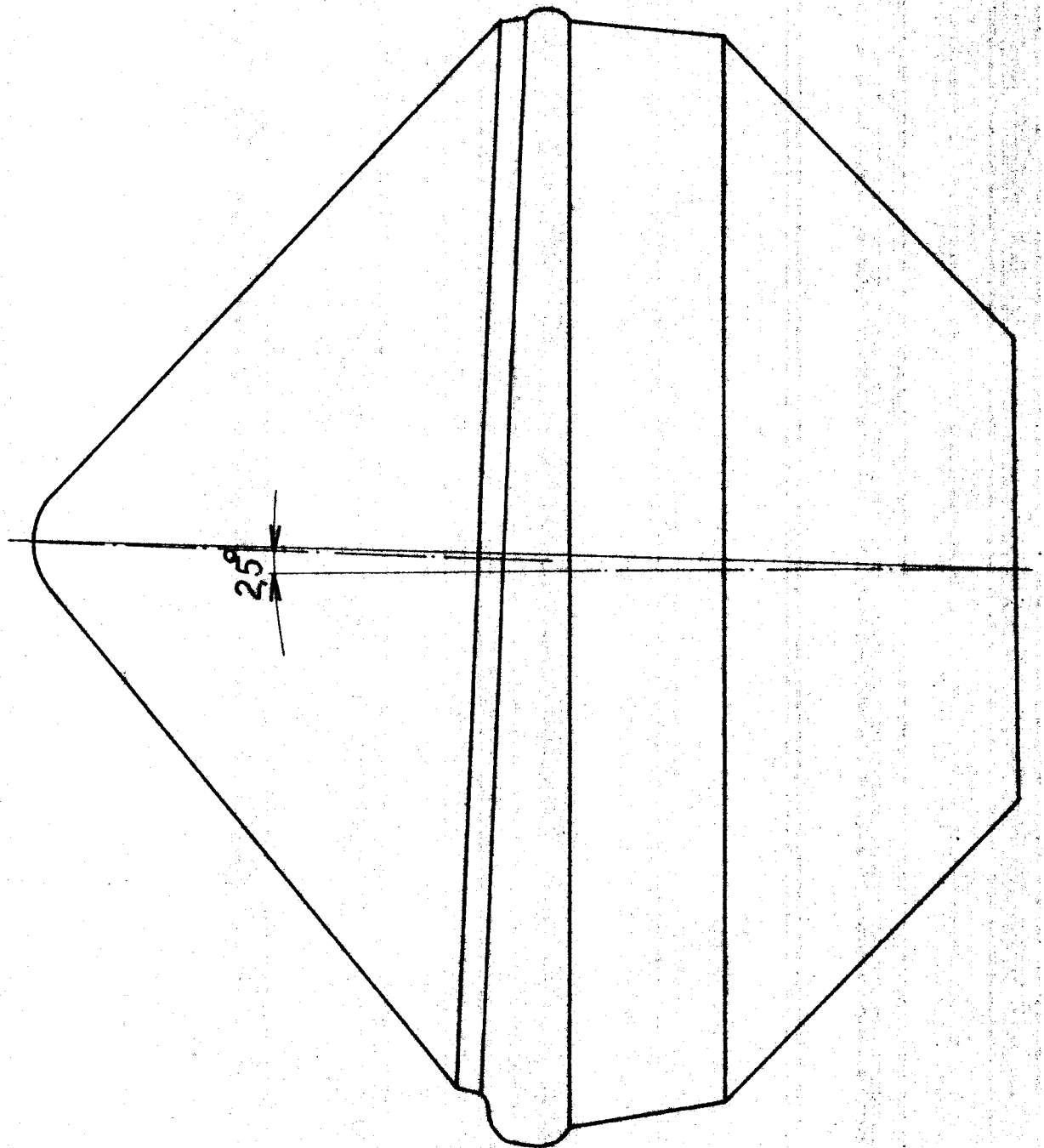
Porovnání jednotlivých profilů je provedeno pro průměr valení 120 mm na obrázku 42., pro průměr 113 mm na obrázku 43. Průměr valení 120 mm.

Jednotlivé profily jsou zakresleny do jednoho obrázku. Rozměry profilů se navzájem liší. Hlavně se liší ve vzájemném oddálení obou polovin /tloušťce braku /. Průměr skutečného výlisku je větší oproti normalizovanému /na $\delta D = 0,35$ mm/. Profil modelu je zvětšen k profilu skutečnému. Normalizovaný /optimální/ výlisek má tloušťku braku 0,3 mm. Tyto rozměrové odchylky nejsou ve vzájemném porovnání profilů příliš na závadu, činí náčrty přehlednější. U profilů se hlavně srovnávají tvary obrysových čar /u přímkových jejich směrnice/, dále rozdíl tloušťky braku v přední a zadní

-54-

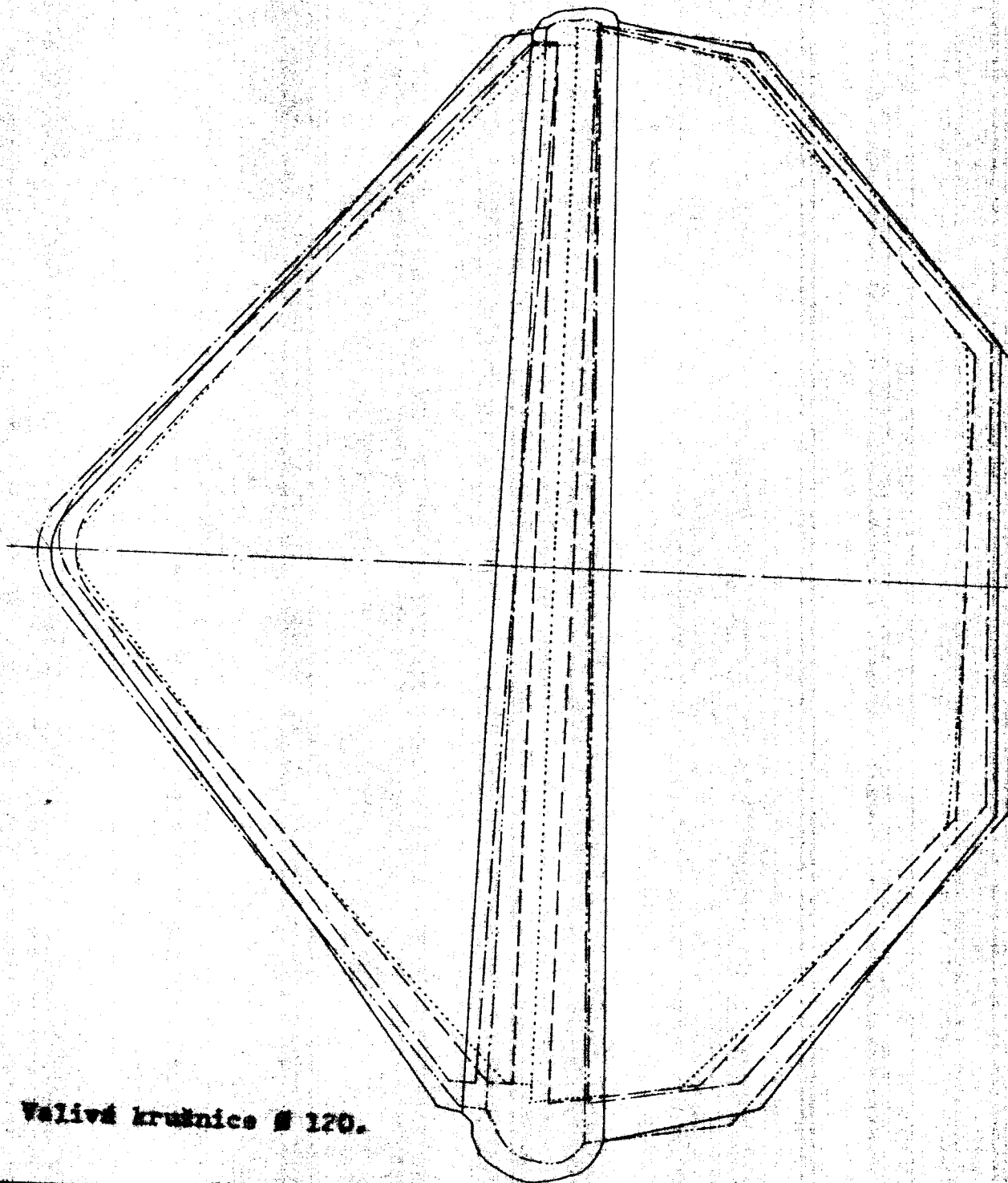


Profil modelu vylišku pro ϕ 1200 mm / N 2 : 1 /
ČSN. 40.



Profil modelu vylisku pro \varnothing 1130 mm / M 2 : 1 /.

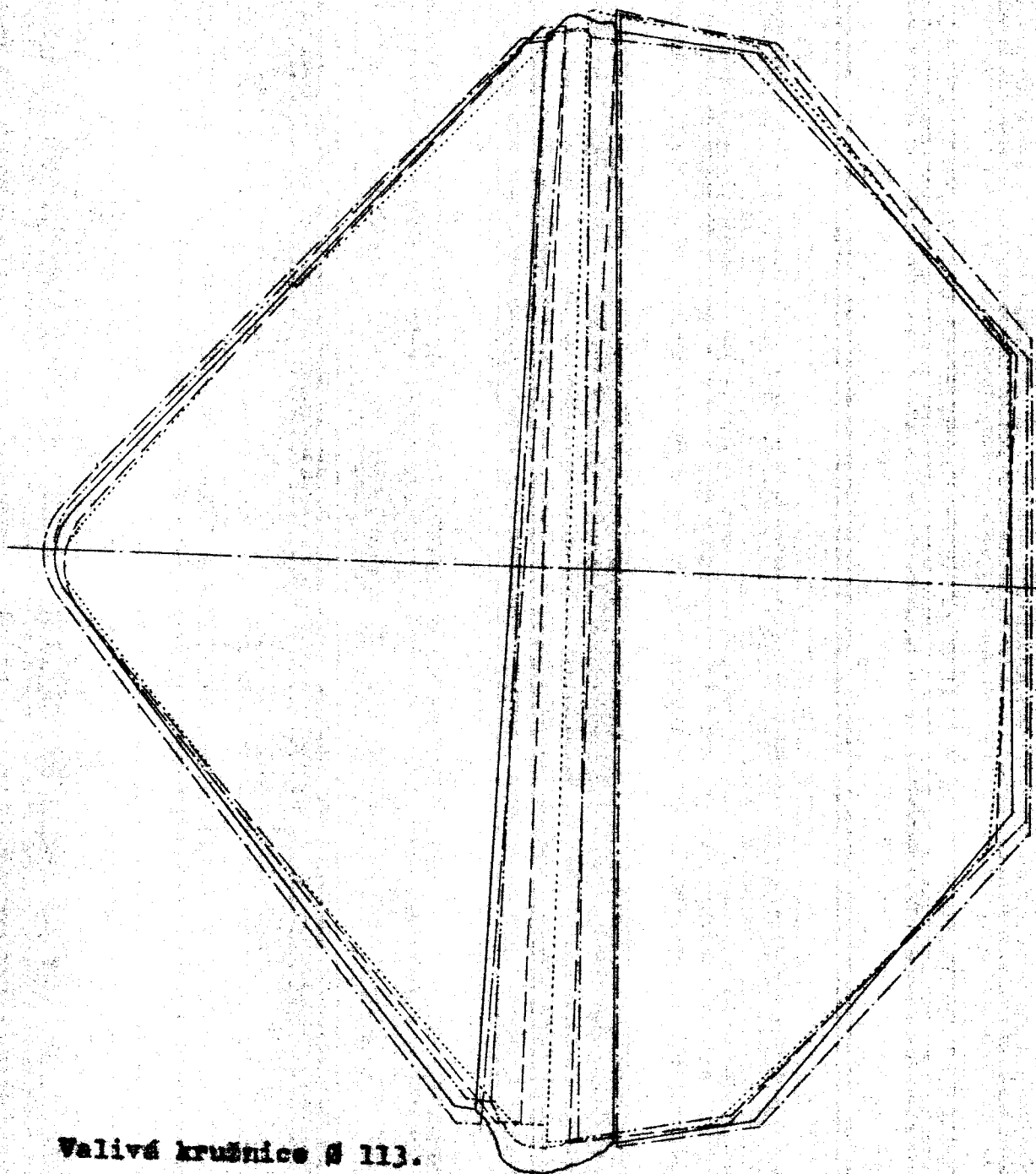
čís. 41.



Valivá kružnice # 120.

- profil skutečného výlisku
- - - - - profil modelovaného výlisku
- · - · - - profil odvozeného výlisku
- · - · - - profil normalisovaného v.
- · · · · profil geometricky odvozeného v.

Obr. 42.



Valivá kružnice Ø 113.

- profil skutečného výsledku
- profil modelovaného v.
- profil odvozeného v.
- · - · - · profil normalizovaného v.
- profil geometricky odvozeného v.

Obr. 43.

části výlišku. Nerovnoběžnost přímkových čar profilů je zapříčiněna ve vzájemně rozdílném natočení polovin výlišku, v rozměrových odchylkách formy skutečného výlišku a tím, že skutečný výlisek byl při opuštění roln natáhnut.

Rozdíly v tloušťce broku $B_2 - B_1$ jsou u výlišku:
skutečného 0,49 mm
modelovaného 0,36 mm
odvozeného 0,60 mm.

U modelovaného výlišku je malý rozdíl způsoben usikáním modelovací hmoty mezi formou a podložkou oproti skutečnosti, proto se stlačovaná hmota více dostává z formy při dolisovávání. U skutečného děje je sklovina v masce mezi rolnami více schlazená /má větší viskozitu/ a tím brání odtoku skloviny z forem.

Výlisek odvozený má větší rozdíl v tloušťce broku, protože se vychází z předpokladu, že sklovina se nedostane mimo vlastní formu při dolisování.

Skutečný rozdíl v tloušťce broku se pohybuje ve středu rozdílů hodnot broku u modelovaného a odvozeného výlišku.

Skutečný rozdíl je aritmetickým průměrem hodnot rozdílů u modelovaného a odvozeného

$$\frac{0,36 + 0,60}{2} = 0,48 \text{ mm}$$

Skutečný úhel vzájemného natočení polovin výlišku je opět mezi hodnotami úhlů u modelovaného a odvozeného, blíží se více odvozenému výlišku, protože se bere úhel mezi spojnicí vrcholu a středu základny u poloviny špičky a spojnicí středu základny a středu plošky u poloviny špičky. Jinak úhel vzájemného natočení přímo souvisí s rozdílem tlouštěk broku.

Pro průměr valivé kružnice 113 mm platí totéž co pro průměr 120 mm.

Ze vzájemného srovnání profilů plyne, že chtěme-li lisovací pochodu modelovat na stávajícím modelu, je nutné odvodit pomocí geometrických závislostí a přihlednutím na lisování teoretický tvar výliisku a pak takto získaný tvar porovnat s tvarem výliisku vymodelovaného. Skutečný profil je mezi získanými profily.

8. Návrh nové konstrukce rotační formy.

Největší odchylky tvaru výliisku skutečného od normalizovaného jsou v rozměrech bruku a ve vzájemném natočení pálek výliisku. Proto je snaha o zlepšení výliisků zaměřena právě na tyto vady.

Natočení pálek výliisku by se dalo odstranit při výrobě rotačních forem tak, že vyrobíme kaplík na rolně o příslušný úhel natočený proti směru otáčení. Tím by se při dolisování vytvořil výlisek, jehož polewing by měl totéž osu /rovnoběžnou při vzájemném přesazení/.

Poukázáním natočení kaplíků by se neodstranila nestojnost bruku v přední zadní části výliisku. Aby byl bruk rovnoměrný a menší, musely by i řezací plešky kaplíků být natočeny o příslušný úhel. Znamená to vytvořit po obvodě rolny plešky, které jsou natočeny vůči příslušné tečné rovině. Tím, že největšího přiblížení dvojice rolen je jen na předních hranách kaplíků, se při stejné síle, která se používá k přitlačování rolen, vytvoří menší bruk v těchto místech a vzájemné oddálení rolen je menší.

Tyto úpravy na rotačních nástrojích jsou různé pro různé výliisky.

Jako příklad je uvedena navrhovaná konstrukce rotační formy průměru 113 mm pro výlisek špička aploškou velikost ss 40. Z konstrukce odvozeného výlisku /obr. 22./ vychází natočení půlky výlisku se špičkou 2° a natočení půlky s ploškou $1,5^\circ$. Při tomto natočení polovina profilu proti směru otáčení je na obrázku 44. nakreslen odvozený profil výlisku při oddělení valivých kružnic o 0,2 mm. Profil vychází souseřný, tloušťky 0,7 mm.

Vzájemné natočení kaplíků bylo modelováno na modelu rotační formy. Vylisované modely výlisku byly proměřeny, výsledný spejtný profil je na obrázku 23. Brok na profilu modelu vychází rovnoměrný. Porovnáním odvozeného a modelovaného se zjistí, že natočením špičky o 2° a plošky o $1,5^\circ$ by měl výlisek být rovný o tloušťce broku 0,7 mm. Hodnoty jsou vzaty pro konstrukci rotační formy, která je na příloze konstrukčním výkresu.

9. Předběžné ekonomické zhodnocení nové konstrukce.

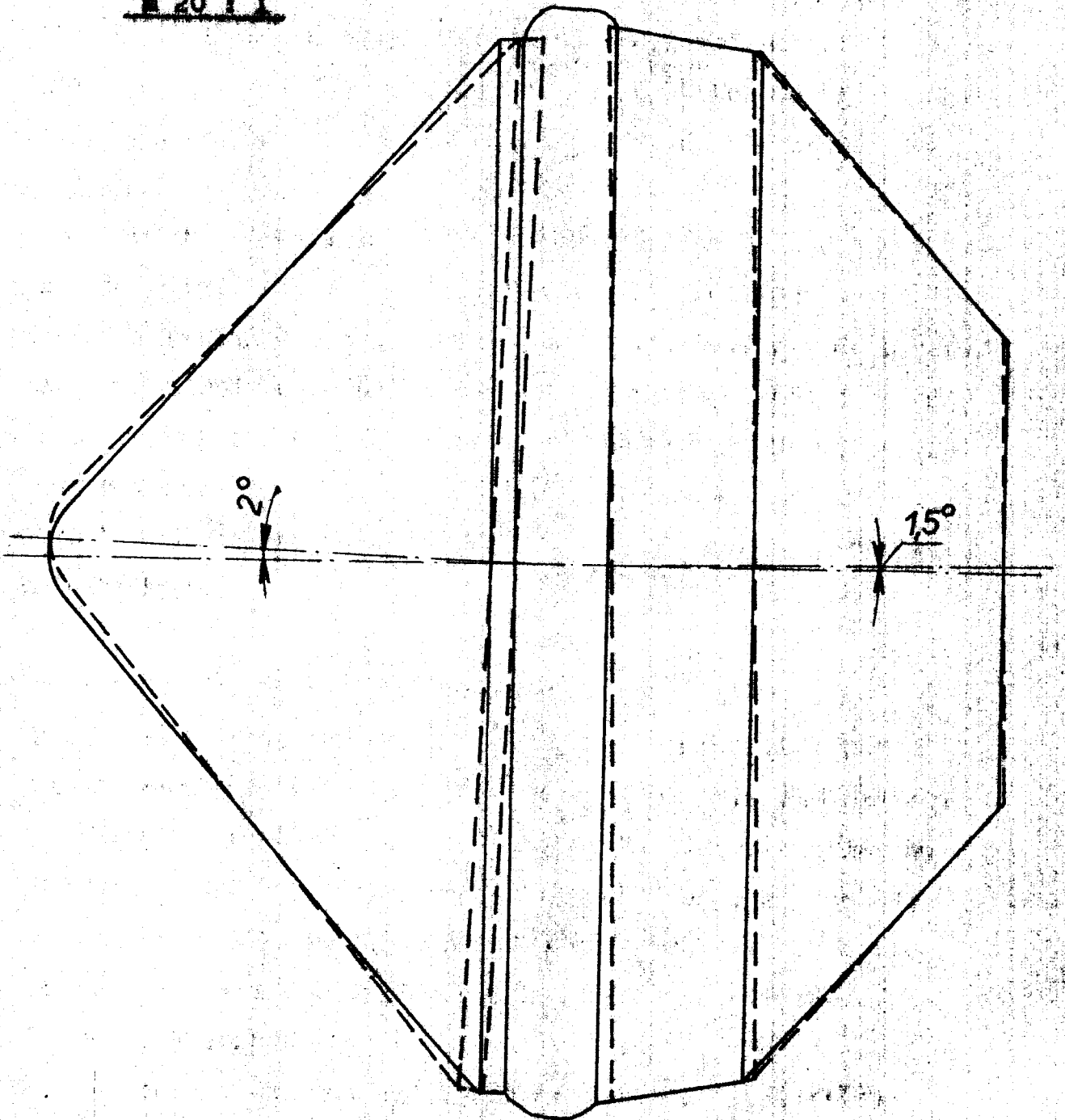
Novou konstrukcí by se měl zmenšit brok u výlisků. Tím by klesla spotřeba skloviny na jeden výlisek. Při značstevích, ve kterých se vyrábí, se každé úspěšné procento skloviny projeví v konečném vyjádření jako značná úspora. Menší význam by mělo i zmenšení průměru výlisku přes brok. Tento průměr je velmi důležitý pro další broušení výlisků na brousících strojích.

Předběžné ekonomické zhodnocení pro výlisek špička s ploškou velikost ss 40.

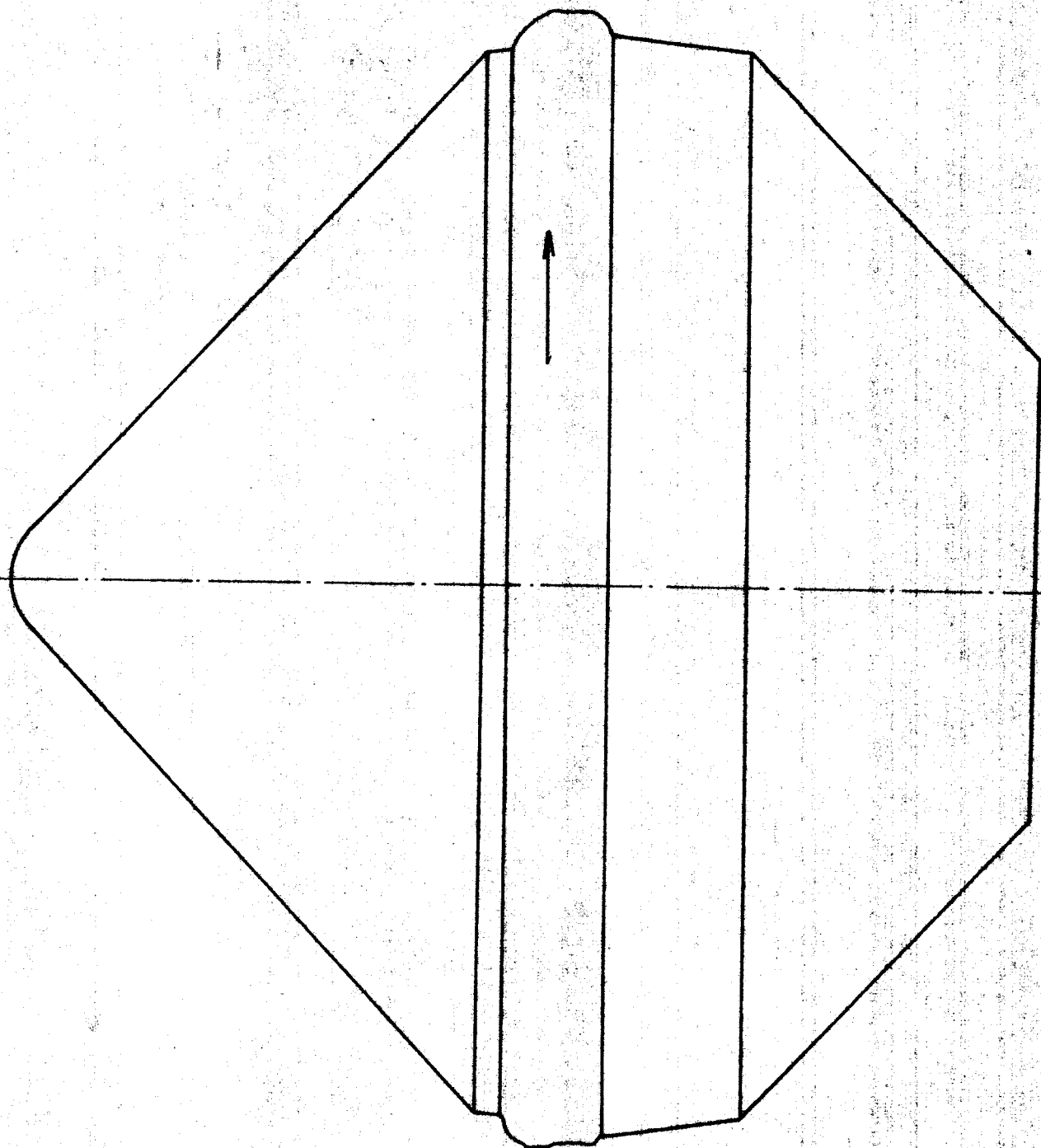
Tloušťka broku vychází 0,7 mm při vzájemném oddělení rolen 0,2 mm, průměr broku je 9,1 mm. Objem broku je $V_2 = 45,5 \text{ mm}^3$.

— profil výliaku
- - - profil kapliky

M 20 : 1



Odvozený výliak z rotační formy a nakloněné kapliky.
Obr. 22.



Profil nedežna vylisku při nakloněných ferudch na metalu.

Obr. 23.

Objem stávajícího broku / $B_1 = 0,6$ mm, $B_2 = 1,1$ mm a
 $D = 9,1$ mm / je $V_1 = 55,3$ mm³.

Rozdíl objemů

$$V = V_1 - V_2 = 55,3 - 45,5 = 9,8 \text{ mm}^3 / \text{výlisek}$$

Při měrné hmotnosti skla 2500 kg/m³ je ušetřená hmotnost
skla jednoho výlišku

$$m = 9,8 \cdot 0,0025 = 0,0245 \text{ g/výlisek}$$

1200 kusů výlišků má hmotnost 800 g. Jeden kus proto má hmotnost
0,667 g.

Při roční spotřebě skla $9,42 \cdot 10^5$ kg vychází počet výroba-
ných výlišků za rok

$$n = \frac{9,42 \cdot 10^8}{0,667} = 1,412 \cdot 10^9 \text{ kusů}$$

Je-li na jednom výlišku ušetřeno 0,0245 g, pak je roční
úspora

$$m_n = 1,412 \cdot 10^9 \cdot 0,0245 = 34,6 \cdot 10^6 \text{ g} = 34600 \text{ kg}$$

Na př. při ceně skla 4,65 Kčs/kg by vyšly ušetřené náklady
na tomto druhu výlišku za rok

$$u = 34600 \cdot 4,65 = 161\ 000 \text{ Kčs/rok.}$$

10. Závěr.

V této diplomové práci je provedena rešerše stávajících způsobů návrhů rotačních forem. Dále je proveden geometrický rozbor odvalovacího procesu pro jednoduché profily i pro profily některých výliaků. Z geometrického rozboru se vychází při odvozování tvaru výliaku s přihlížením na lisovací pochod mezi nástroji. Pro odzkoušení různých možností dokonabrake rotačního nástroje byl sestaven model nástroje. Je ukázáno, že je možné pro jakýkoliv profil výliaku najít profil výliaku. Lze upřít profil kapliku pro daný profil výliaku.

Při vlastním tvarování mají největší vliv na tvarové odchylky deformace při vyjádření kapliku z lisovací polehy. Zvětšování průměru rolen lze tyto deformace vniklé vlivem odvalovací petlačit. Průměr rotační formy je závislý na velikosti rotačních nákladů i vlastních formami, které by při větších průměrech byly nákladnější. Se vzrůstajícím průměrem roste počet kaplíků na obvodu, čímž je větší možnost výskytu vadného kapliku na jedné formě a tím možnost vyřazení celého nástroje.

Je nutné zatím počítat s minimálními průměry rolen 113 a 120 mm a řešit problém odvalování vhodnou konstrukcí. Výsledkem této práce je i konstrukční návrh rotační formy, která počítá s vlivem odvalování. Výliaky z těchto rolen by měly mít lepší kvalitu oproti stávajícím. Bude-li konstrukce odzkoušena a potvrdí-li se předpoklady, pak by bylo možné přejít na lisování výliaků jednak s většími požadavky na přesnost a jednak větších rozměrů na dnes používaných průměrech rolen.

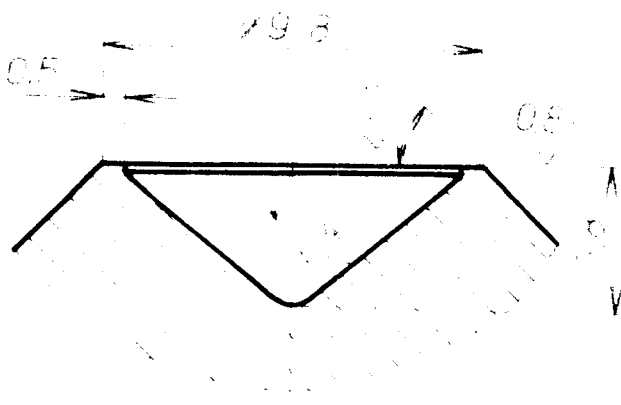
Závěrem bych chtěl poděkovat konzultantu Ing. Antonínu Havelkovi za neobyčejnou ochotu, rady a připomínky k otázkám vzniklým při řešení diplomové práce. Dále bych poděkoval konzultantu Ing. Antonínu Schäferovi za odborné konzultace v oblasti praktických otázek a vědeckému práci Ing. Jaroslavu Běldovi, CSc. Děkuji i s. M. Helikarovi za pomoc při výrobě modelu.

Použitá literatura

- [1] Šajvi M.: Theoria a výpočet srovnávacích kol. Díl I. SNTL 1957
- [2] Lochnan M.: Měření teplot a lisovacích sil při tvarování na rotačním nářadí BZ 120. DP 242/75
- [3] Strojnická příručka. Díl II. Matematika. SNTL 1957
- [4] Úvodní studie výzkumného úkolu. Tiskárna tvarovacích strojů. VÚSAB 1966
- [5] Tvarování sliovin na rotačních nářadích. Závěrečná zpráva 1972 - 74. KSK - VÚST Liberec
- [6] Rotační nástroje. Oborová zpráva PJB. 1974
- [7] Zpráva o řešení jmenovitého úkolu č. 74. 1972
- [8] Jirman P.: Rozbor tvarovacích podmínek provalky sliovin na rotačním nářadí. DP 213/74.
- [9] Dídíček J.: Návrh technologie výroby rotačních víceúčelých náradí pro lisování slioviných kuliček. DP - ST - 435/66.

TVAR KAPLIKŮ DLE RAZNÍKU

ŘEZ A-A



A

B

A

A

B

198 x 32

108

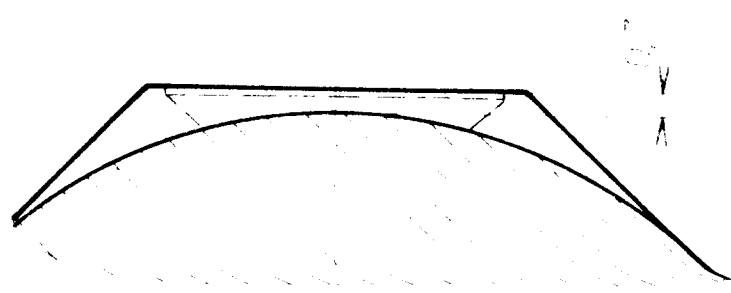
0.5

SMĚR TALENÍ
ROVNÝ

2°

V

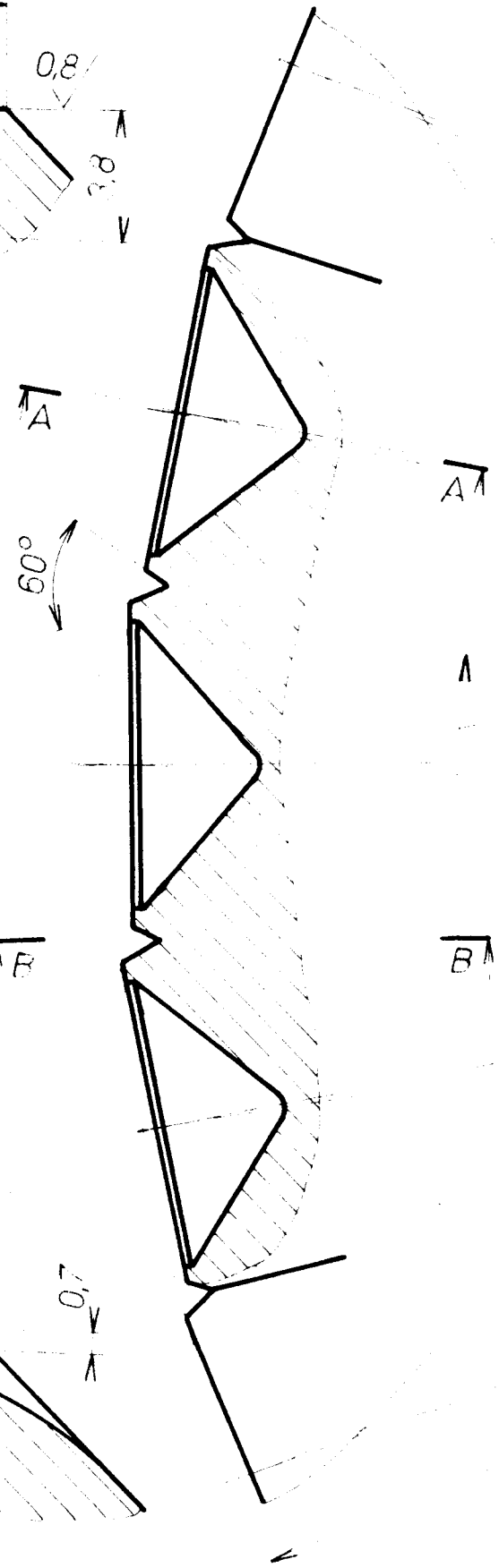
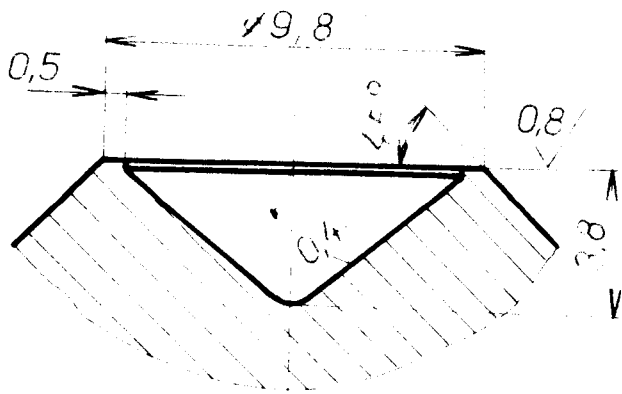
ŘEZ B-B



#113

TVAR KAPLÍKŮ DLE RAZNÍKU

ŘEZ A-A

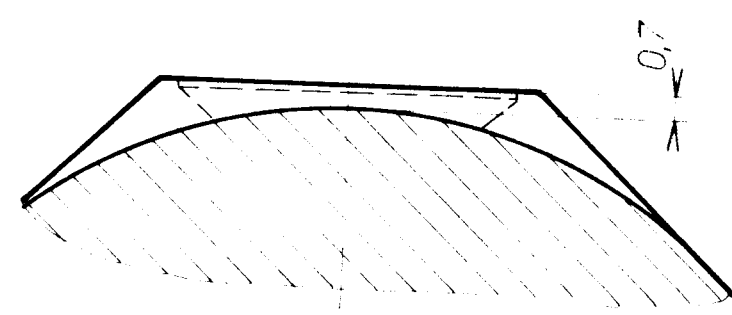


SMĚR ŮTÁČENÍ
ROLNY

2°

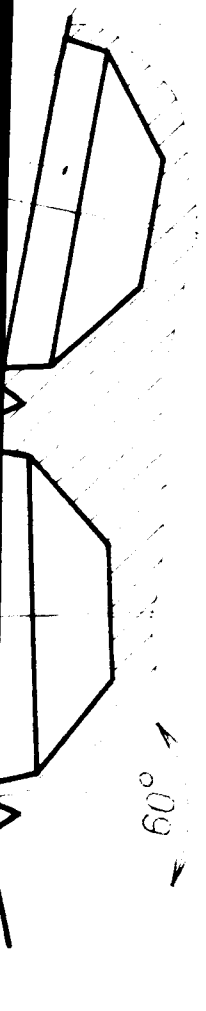
Ø 113

ŘEZ B-B

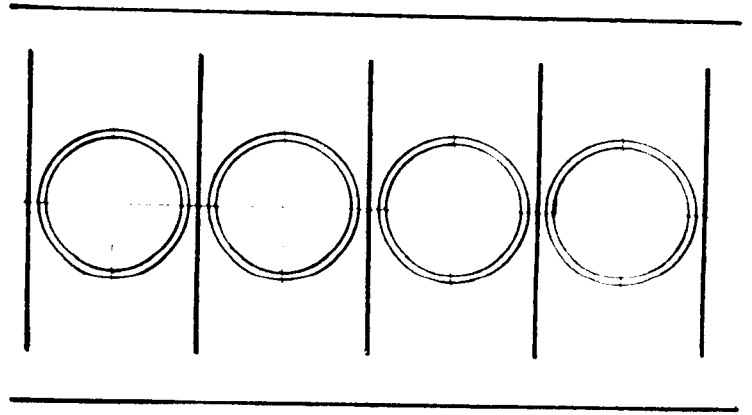


POHLED F
ROZVINUTÝ OBVOD
MĚR 2:1

03 / 147 08



SMĚR OTÁČENÍ
ROLNY



Ø 113

11° 15' x 32

ROZPTYL KAPLÍKŮ V AXIÁL. SMĚRU MAX 0,25
2 TYČ Ø120 x 50 ČSN 42 6510 19 802.4 19 802 2 25

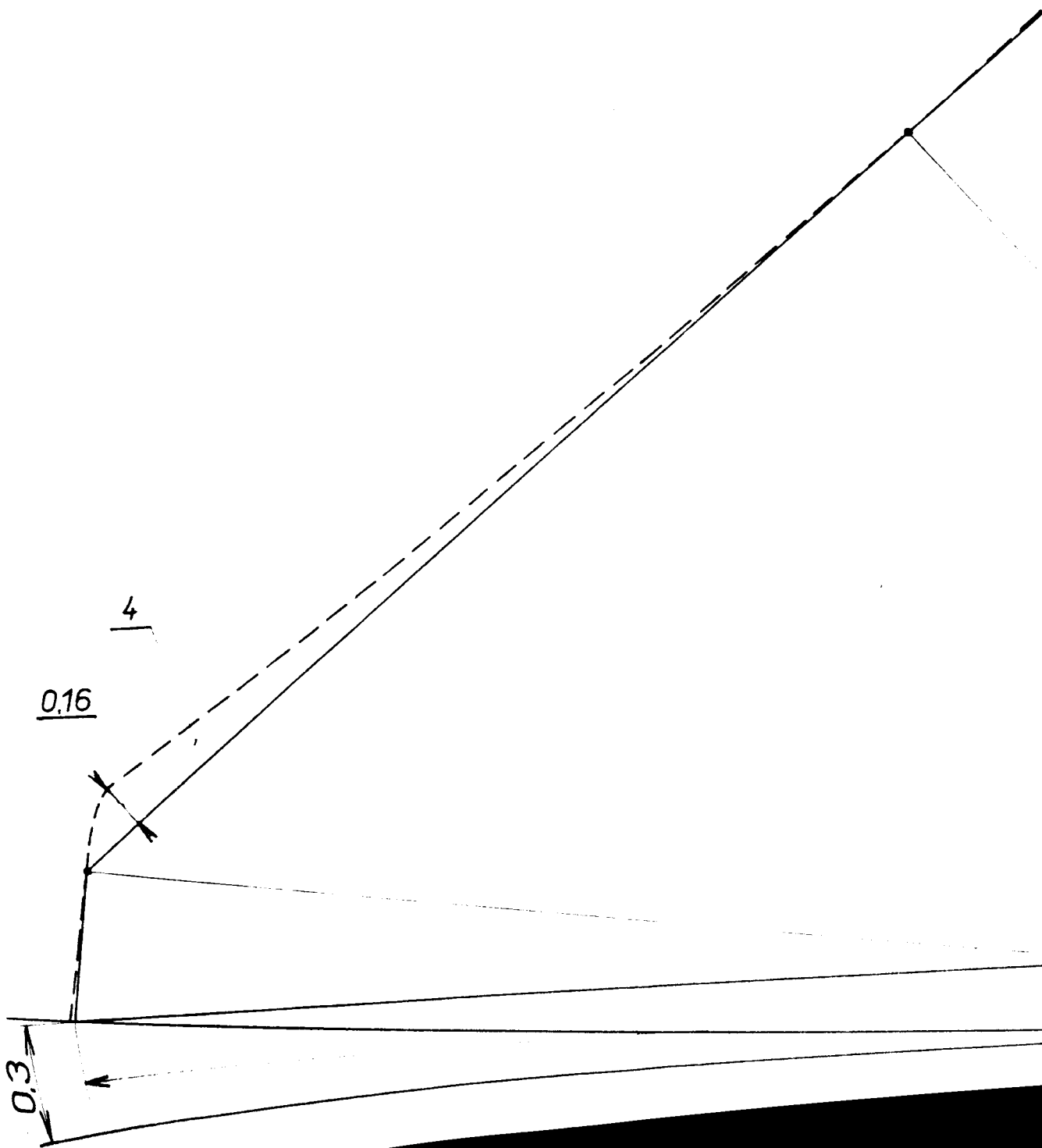
M. KALINA *M. Kalina*

5:1
(2:1)

ROLNA Ø 113
KONSTRUKCE KAPLÍKŮ NA
ROLNĚ PRO SPIČKU S PLOŠKOU
VELIKOST SS 40

3 - 265/76 - 03

PL
-1

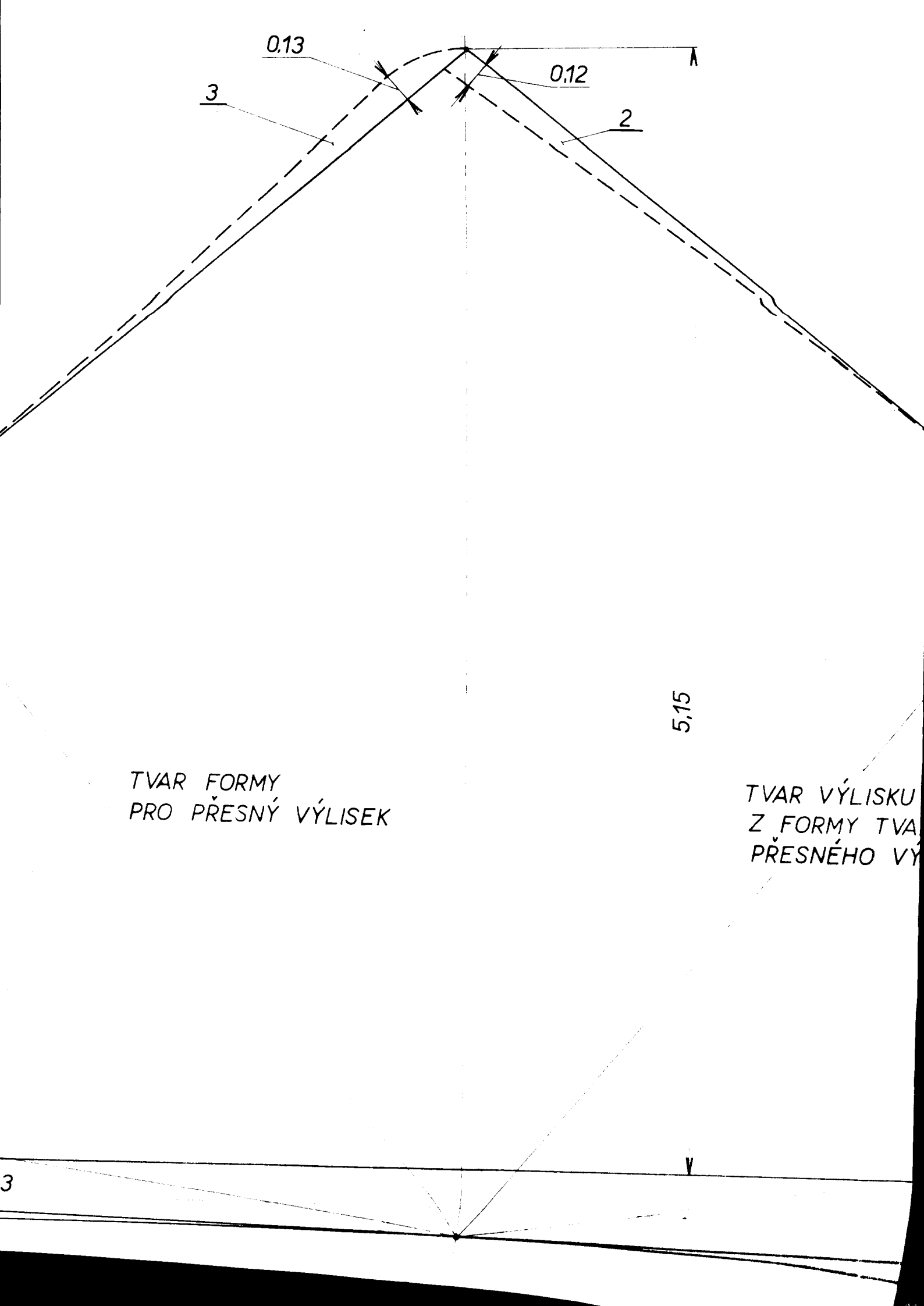


0.16

4

0.3

11



0.13

0.12

3

2

5.15

TVAR FORMY
PRO PŘESNÝ VÝLISEK

TVAR VÝLISKU
Z FORMY TVARU
PŘESNÉHO VÝLISKU

3

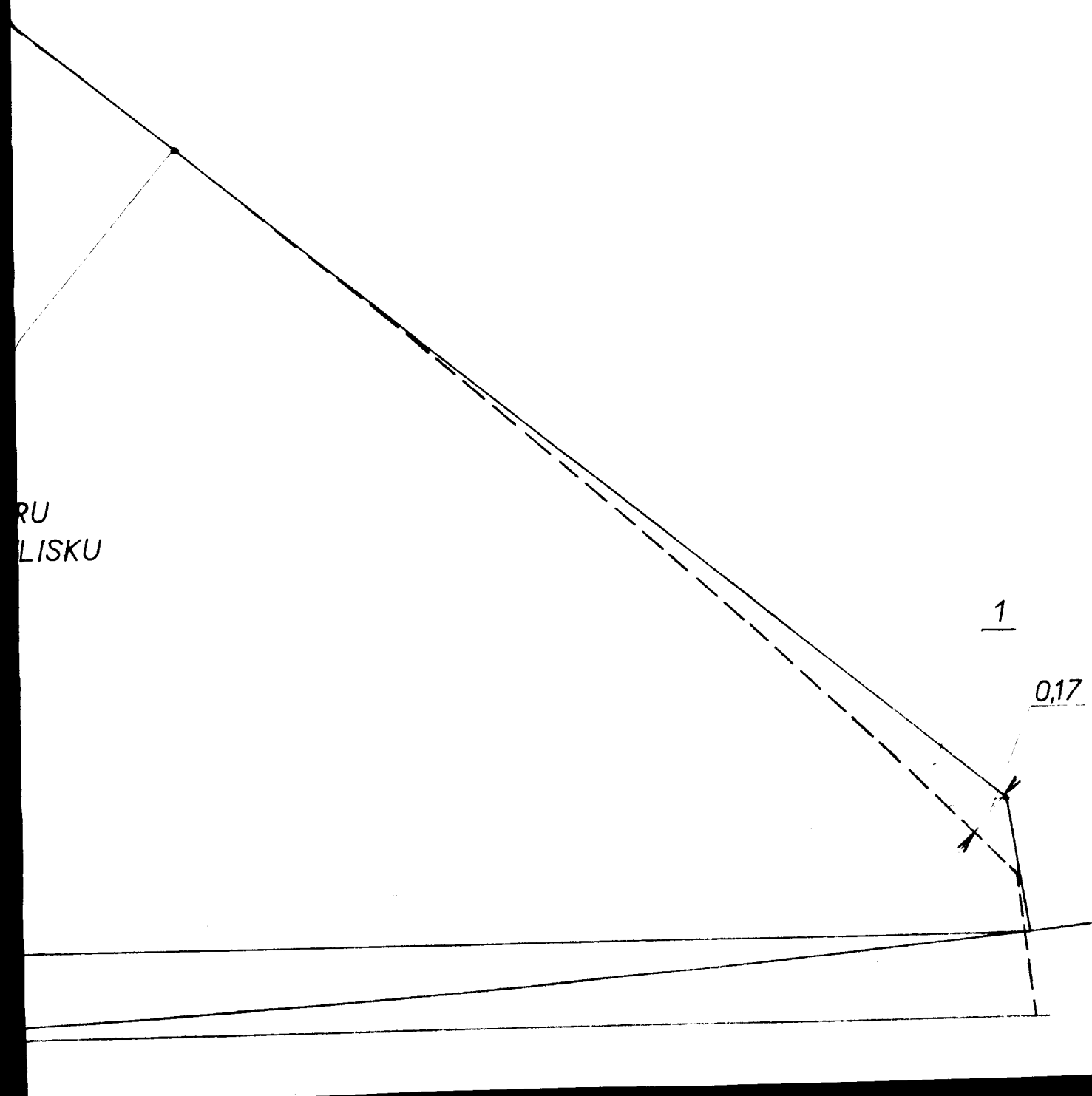
5

VÝLISEK PRO ŠATONY SMIREK A ŠATONY AURORIT

VELIKOST SS 48

ŘEZ HLAVNÍ ROVINOU
PRŮMĚR ROLNY 113 MM

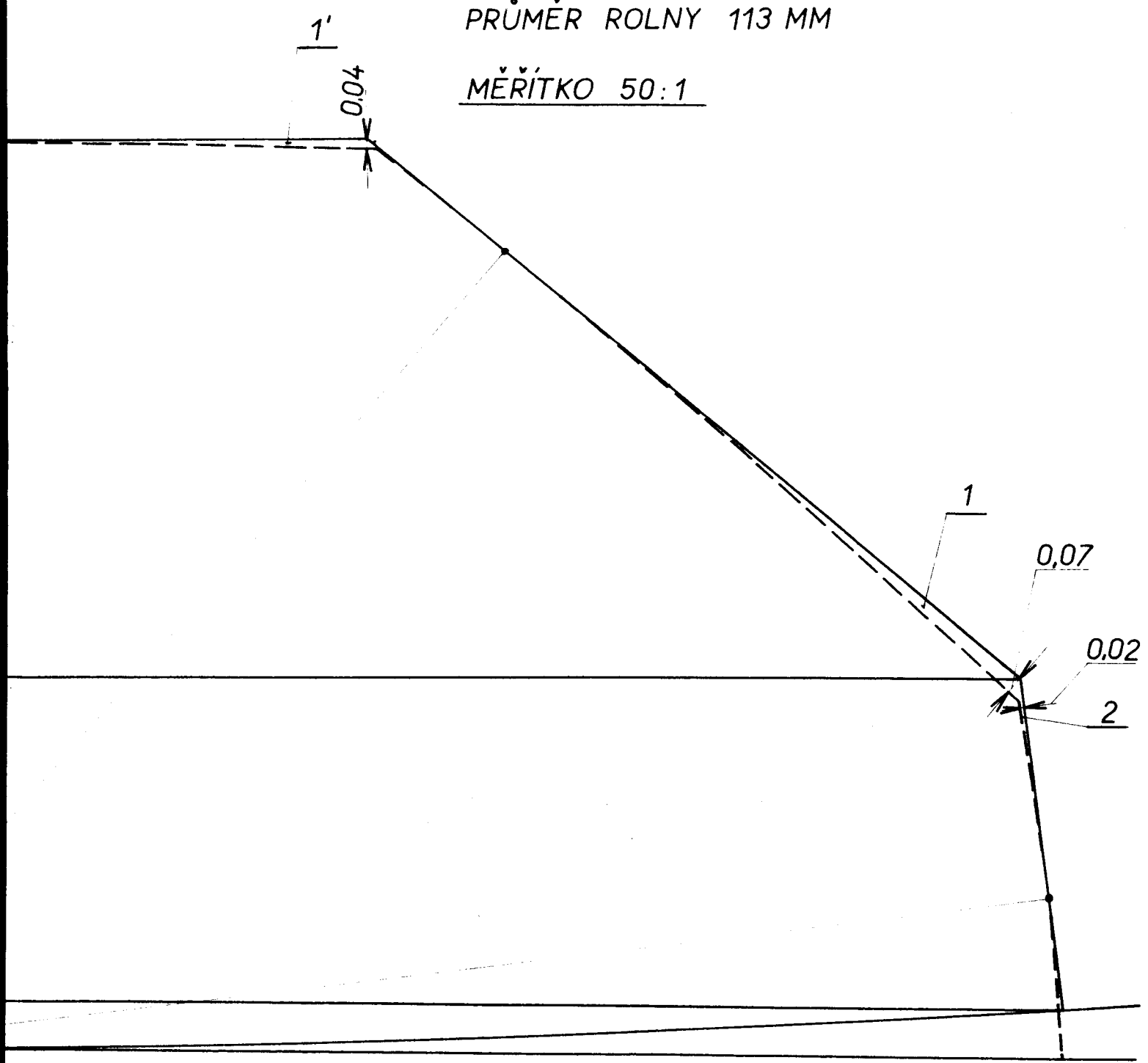
MĚŘÍTKO 50:1



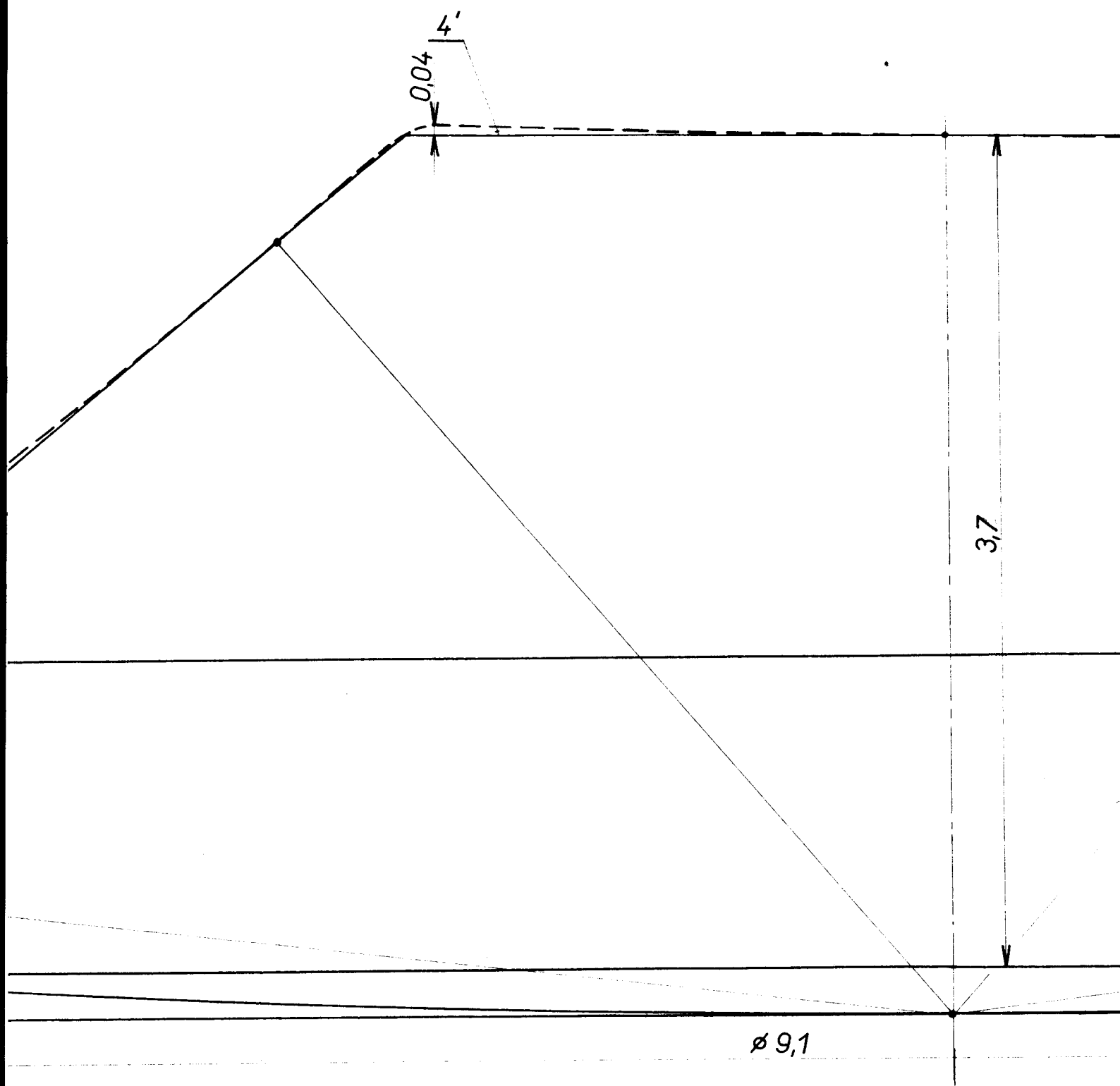
VÝLISEK ŠPIČKA S PLOŠKOU
VELIKOST SS 40

ŘEZ HLAVNÍ ROVINOU
PRŮMĚR ROLNY 113 MM

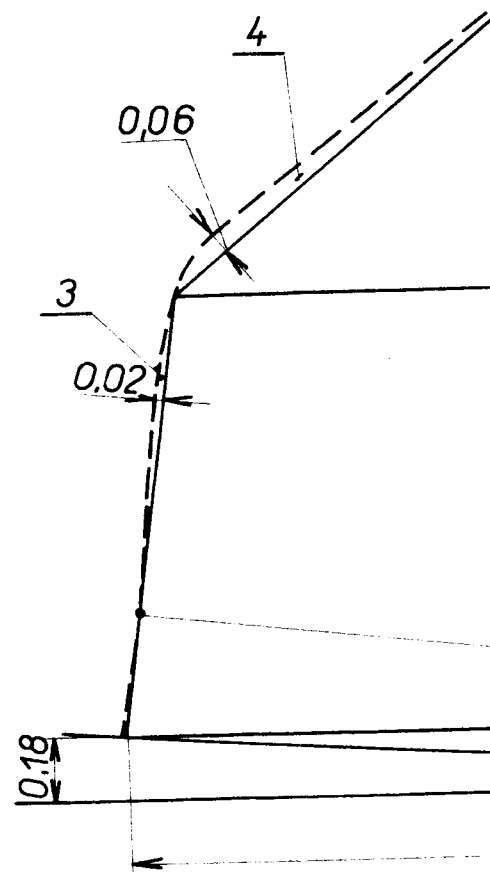
MĚŘÍTKO 50:1



TVAR VÝLISKU
Z FORMY TVARU
PŘESNÉHO VÝLISKU



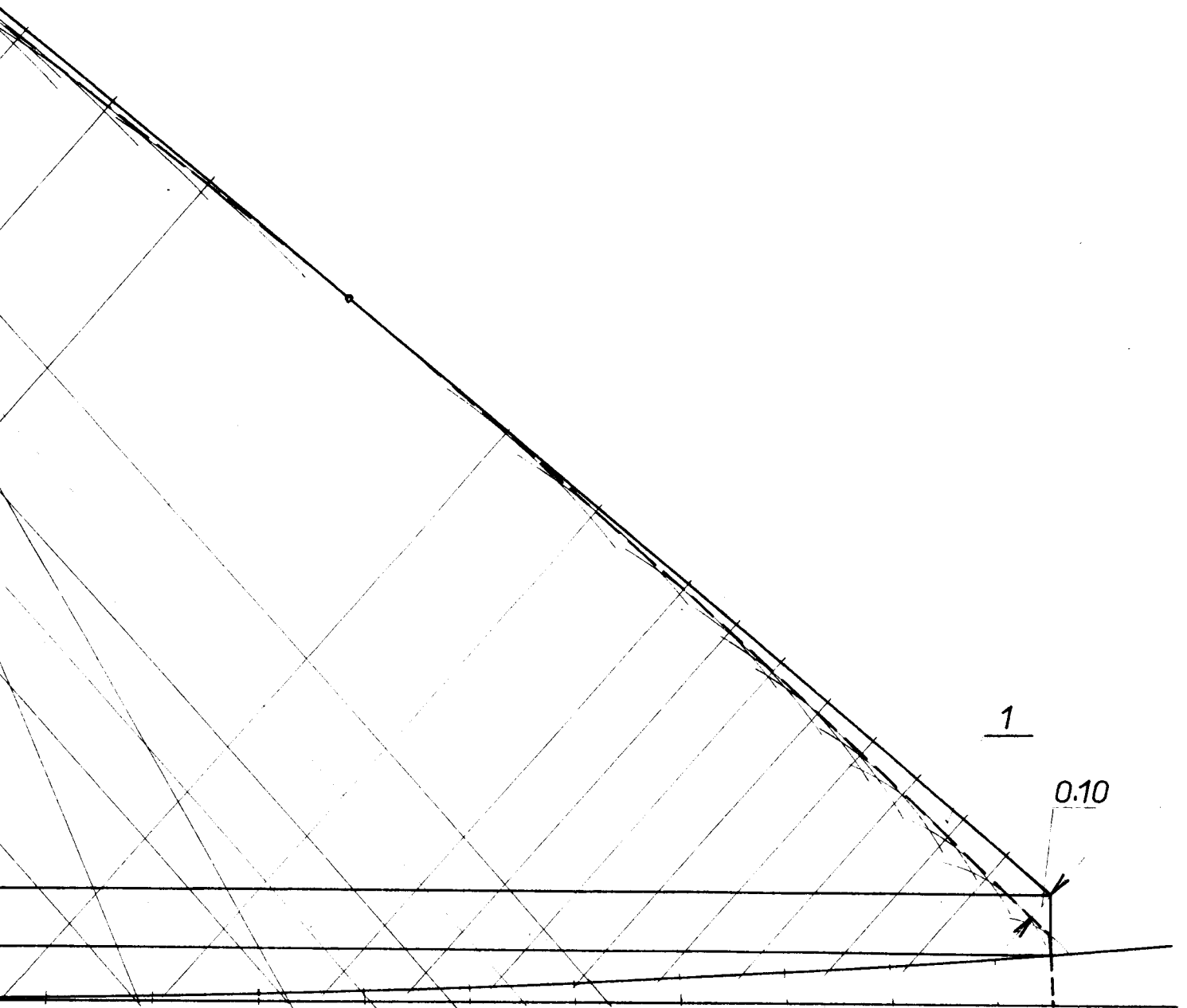
TVAR FORMY
PRO PŘESNÝ VÝLISEK



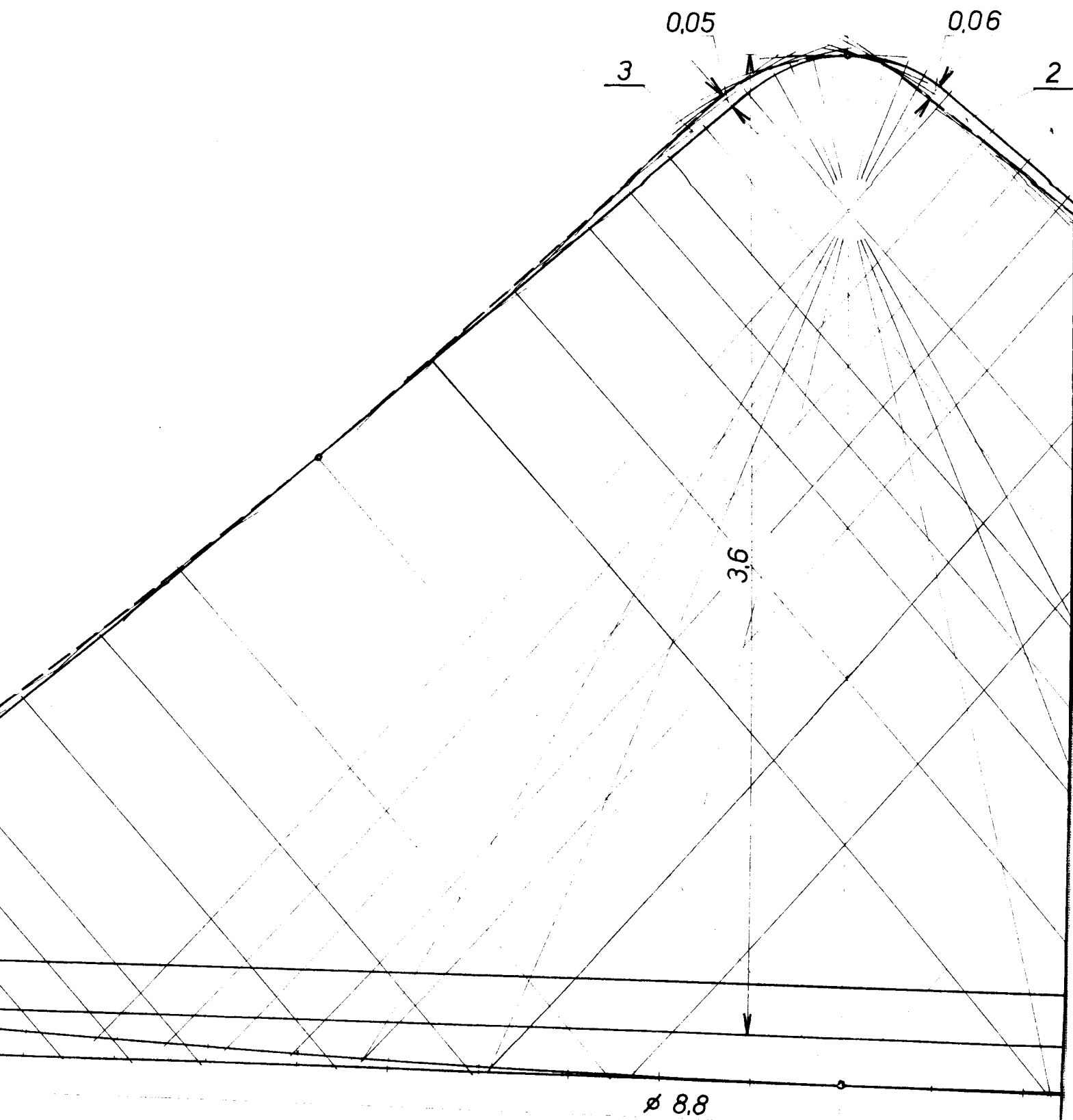
VÝLISEK ŠPIČKA S PLOŠKOU
VELIKOST SS 40

ŘEZ HLAVNÍ ROVINOU ŠPIČKY
PRŮMĚR ROLNY 113 MM

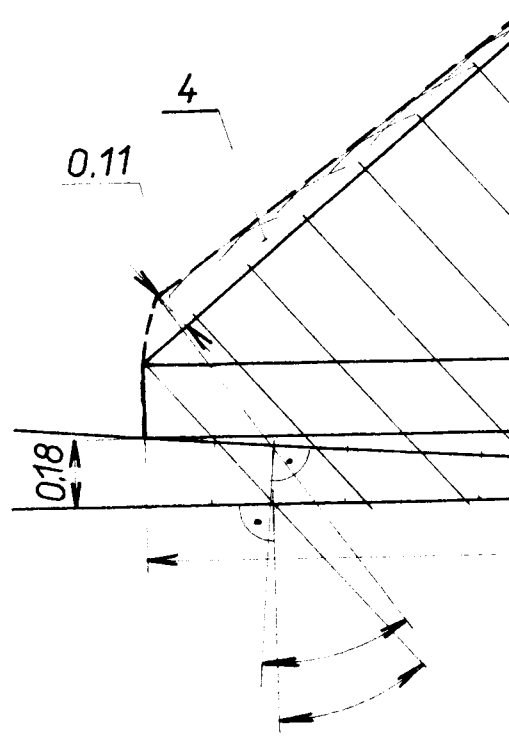
MĚŘÍTKO 50:1



TVAR VÝLISKU
Z FORMY TVARU
PŘESNÉHO VÝLISKU

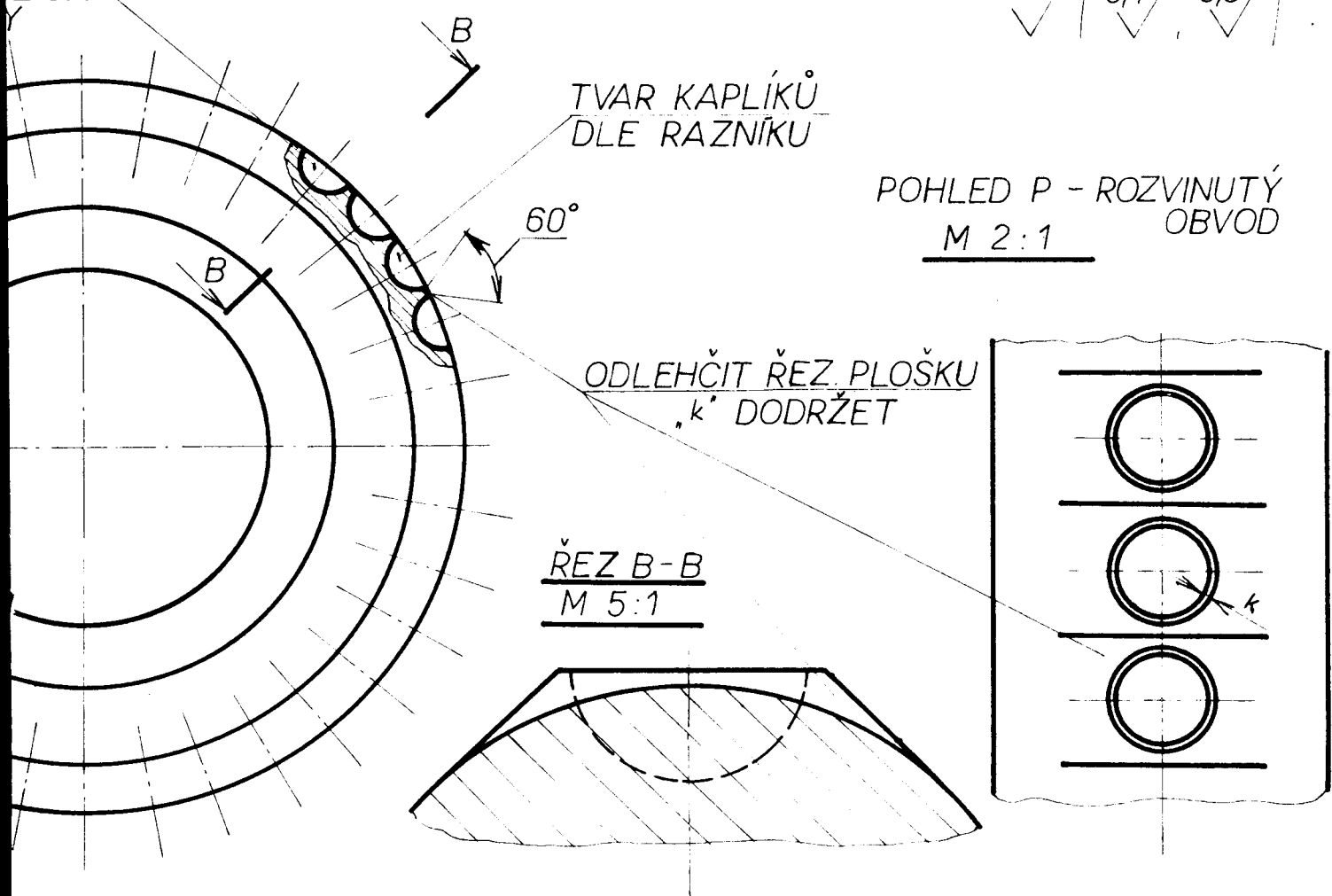


TVAR FORMY
PRO PŘESNÝ VÝLISEK



KŮ PO

6,3 / 0,4 / 0,8



NITRIDOVAT PŘI $T_{max} = 500^{\circ}C$ PO DOBU *caa* 48 HOD. $HV \geq 1000$.

ÚCHYLKA ROZTEČÍ KAPLÍKŮ V PÁRU MAX. 0,1 MM.

Ø JMENOVITÉ ROLNY OPROTI Ø PÁROVÉ ROLNY VŽDY MENŠÍ O 0,2 - 0,3 MM

ROZMĚR $\phi D_{SKUT}^{+0,10}_{+0,05}$ JE NAMĚŘENÝ Ø D VĚTŠÍ O UVEDENOU TOLERANCI.

ROZDÍL V PÁRU: a - max 0,2 MM; b - max 0,5 MM.

ROZPTYL KAPLÍKŮ V AXIÁLNÍM SMĚRU MAX 0,05 MM.

OSTRÉ HRANY SRAZIT (UVNITŘ KAPLÍKŮ MAX. 0,2 x 45°)

1 pár ø 120 x 50 ČSN 42 65 10 14 340 14 340.6 10b

ING. SCHÄFER 30.5. 1974

1:1

KOPIE

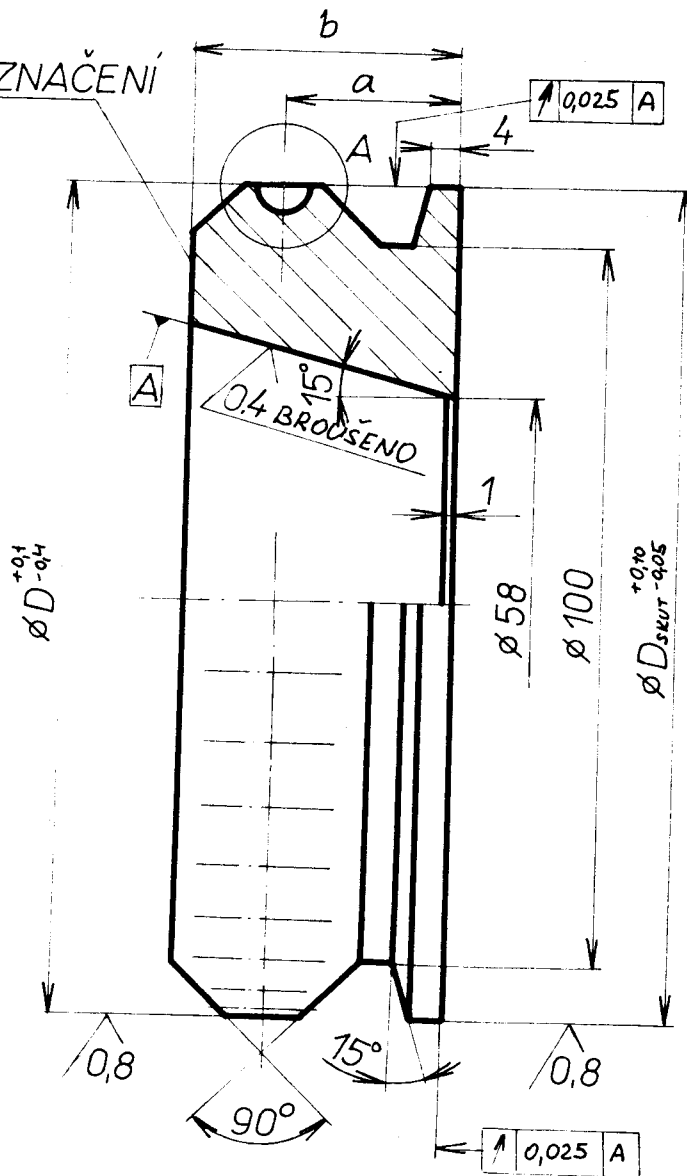
(5:1)
(2:1)

PRECIOSA N.P. **ROLNA ø 113**

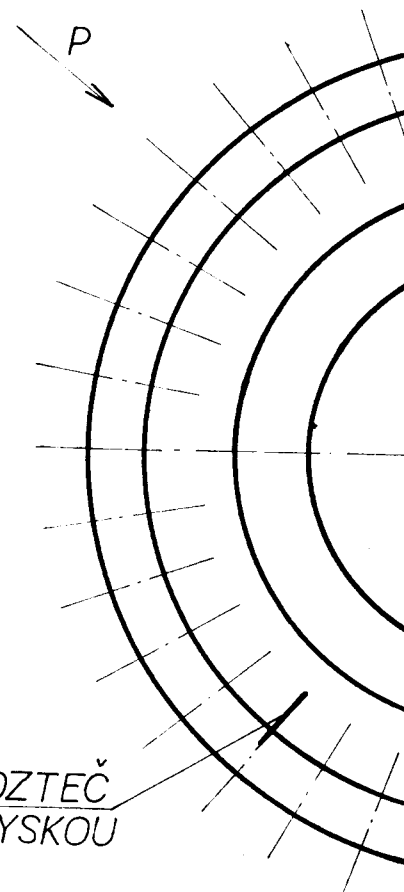
PŘÍLOHA 1.

JABLONEC N.N.

ČÍSLO A OZNAČENÍ
ROLNY

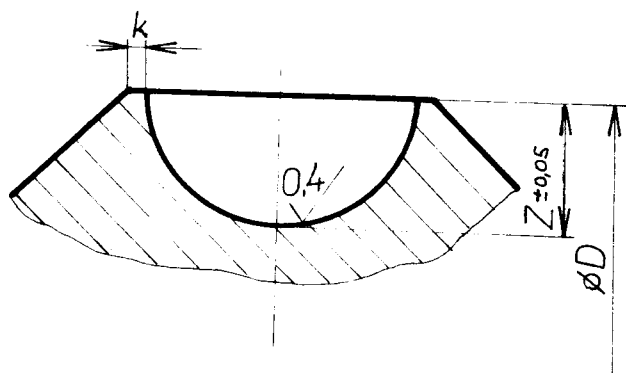


n - POČET KAP
OBVODU ROLY



VÝCHOZÍ ROZTEČ
OZNAČIT RYSKOU

DET. A
M 5:1



ROZMĚRY V MM

ϕD	113
b	26 ÷ 46
a	14 ÷ 40
k	0.4 ÷ 0.7

ROZDÍL SOUČTU HLOUBEK ZALISOVÁNÍ PÁRU ROLEN MAX. 0,06 MM.

Počet kusů	Název - Rozměr	Polofovar	Mater. konečný	Mater. výchozí	Třída odp.	Č. váha	Hr. váha	Číslo výkresu	Poz.
1	2	3	4	5	6	7	8	9	10
1	Základna Ø 16 - 1000	ČSN 420076	10340.0	-	1				1
1	Plech 10 x 160 - 500	ČSN 425310	10340.0	-	1				2
2	Plech 5 x 60 - 320	ČSN 425310	10340.0	-	1				3
2	Stojina 50 x 30	ČSN 425570	10340.0	-	1				4
2	Plech 10 x 50 - 580	ČSN 425310	10340.0	-	1				5
1	Trubka Ø 26 x 3 - 95	ČSN 425715	11350.0	-	1				6
2	Trubka Ø 26 x 3 - 35	ČSN 425715	11350.0	-	1				7
1	Příčnick Ø 20 - 290	ČSN 426611	11350.0	-	1				8
1	Podložka 3 x 160 - 500		plexisklo	-					9
4	Forma 60 x 100 - 110		Plexisklo	-					10
1	Plech 0,5	ČSN 425301	11301.0	-	1				11
4	Šroub M 10 x 40	ČSN 021101	-	-	-			-	12
4	Podložka 10,5	ČSN 021702	-	-	-			-	13
4	Šroub M 8 x 18	ČSN 021101	-	-	-			-	14
16	Podložka 8,4	ČSN 021702	-	-	-			-	15
12	Šroub M 8 x 30	ČSN 021101	-	-	-			-	16
2	Matice M 16	ČSN 021401	-	-	-			-	17
2	Podložka 17	ČSN 021702	-	-	-			-	18
18	Kulička Ø 7,938	ČSN 023680	-	-	-			-	19

Vyhotovil	Kalina M.	<i>M. Kalina</i>	Snímek č.	
Přezkoušel				
Norm. ref.				
Výr. projedn.		Schválil	Transp. č.	
		Dne		

Změna	Datum	Podpis	Index změny

VŠST LIBEREC	Typ	Skupina	Starý kusovník	Nový kusovník
	Název			
	MODEL ROTAČNÍHO NÁSTROJE.		2	4 - 265/76 - 02
			Počet listů	list
				2